

Chulalongkorn Medical Journal

Volume 30
Issue 9 September 1986

Article 11

9-1-1986

Intrapartum fetal monitoring

Y. Tannirandorn

Follow this and additional works at: <https://digital.car.chula.ac.th/clmjournal>



Part of the Medicine and Health Sciences Commons

Recommended Citation

Tannirandorn, Y. (1986) "Intrapartum fetal monitoring," *Chulalongkorn Medical Journal*: Vol. 30: Iss. 9,

Article 11.

Available at: <https://digital.car.chula.ac.th/clmjournal/vol30/iss9/11>

This Review Article is brought to you for free and open access by the Chulalongkorn Journal Online (CUJO) at Chula Digital Collections. It has been accepted for inclusion in Chulalongkorn Medical Journal by an authorized editor of Chula Digital Collections. For more information, please contact ChulaDC@car.chula.ac.th.

บทพื้นฟูวิชาการ

การเฝ้าระวังทารกในบطنะเจ็บครรภ์

เยือน ตันนิรันดร *

Tannirandorn Y. Intrapartum fetal monitoring. Chula Med J 1986 Sep; 30 (9) : 905-932

Intrapartum fetal monitoring is a newly introduced technology for evaluating uterine activity and fetal heart rate tracings during labor. Intrapartum stillbirth and neonatal death rates can be reduced by the utilization of this procedure. This article describes various aspects of intrapartum fetal monitoring as follows : uterine activity in labor, fetal heart rate control, placental oxygen transfer and fetal oxygenation, fetal response to hypoxia, classification of fetal heart rate tracings, interpretation of fetal heart rate tracings, pathophysiology and management of abnormal fetal heart rate tracings, and its advantages-disadvantages.

* ภาควิชาสูติศาสตร์-นรีเวชวิทยา คณะแพทยศาสตร์ จุฬาลงกรณ์มหาวิทยาลัย

ความก้าวหน้าทางด้านวิทยาศาสตร์การแพทย์ ในระยะ 15 ปีที่ผ่านมา ทำให้สูติแพทย์บางท่าน สามารถประเมินอย่างได้ผลว่า ทารกในครรภ์จะ ผ่านการเจ็บครรภ์และการคลอดโดยไม่เกิดการบาดเจ็บหรืออันตรายถึงชีวิต ทั้งนี้โดยจากการเด่นของ หัวใจการอ่อนย่างต่อเนื่องระหว่างการเจ็บครรภ์ และ ตรวจเลือดจากหนังศีรษะทารก เพื่อดูภาวะความ เป็นกรด-ด่าง การประเมินผลการตรวบทั้งสองวิธี ที่กล่าวมานี้ อาจส่งผลให้มีการปฏิบัติต่อทารกใน ครรภ์ได้หลายอย่าง อาจเป็นไปในแนวเดียวกัน หรือ แนวตรงกันข้ามที่ทำให้มีการปฏิบัติในบางอย่างที่ไม่ จำเป็นหรือไม่ปฏิบัติในบางอย่างที่จำเป็นทำให้ทารก ในครรภ์ได้รับอันตรายนาดเจ็บแกร่งร้าย มีความ พิการที่สมอง หรือถึงแก่กรรมได้ ทั้งนี้ เพราะวิธี การทั้งสองอย่างยังเป็นของใหม่ ยังต้องการประสบการณ์ในการแปลผลอยู่ซึ่งอาจกล่าวได้ดังต่อไปนี้

1. การวัดปริมาณการหดรัดตัวของมดลูก (Uterine activity)

เป็นที่ทราบกันแล้วว่า ความก้าวหน้าของการ เจ็บครรภ์คลอด (Progress in labor) นั้น อาศัย 3 P's คือ Power, Passenger และ Passage ดังนั้นการตรวจ Power หรือการวัดปริมาณการ หดรัดตัวของมดลูก (Uterine activity) จึงมีความ สำคัญที่จะใช้บอกความก้าวหน้าของการเจ็บครรภ์ คลอด

การวัดปริมาณการหดรัดตัวของมดลูกนั้นมี หลักวิธีแบ่งได้เป็นการวัดภายนอกและการวัดความ ดันภายในโพรงมดลูก การวัดภายนอกนี้ได้แก่ การ คลำทางหน้าท้องและการใช้เครื่องมือที่เรียกว่า External tocodynamometry ซึ่งการวัดทั้ง 2 วิธีนี้จะบอก จุดเริ่มต้น (onset) ของการหดรัดตัวมดลูกได้ แต่

ไม่สามารถบอกปริมาณ (quantity) หรือระยะเวลา (duration) ที่มดลูกหดรัดตัวได้อย่างแม่นยำ การ วัดโดยวิธีนี้สามารถบอกความถี่ (frequency) ของ การหดรัดตัวได้ดี

ได้มีการใช้เครื่องมือที่เรียกว่า Open-ended fluid filled polythene catheter (FFPC) เพื่อ วัดความดันภายในโพรงมดลูก เครื่องมือในระยะแรก ๆ ยังมีความบกพร่องอยู่บ้างเช่น ทำให้ผนัง มดลูกทะลุ เกิดการอุดตันของสาย catheter จาก vernix หรือเลือด เกิดการติดเชื้อภายในโพรงมดลูก "ได้ง่าย และถ้าผู้คลอดพยายามตัวก็จะทำให้ความดัน ผิดไป ในปัจจุบันจึงได้มีการคิดเครื่องมือที่จะใช้วัด ความดันในโพรงมดลูกขึ้นมาใหม่ โดยทำเป็นเครื่อง มือที่เรียกว่า Catheter tip pressure transducer ซึ่งพบว่ามีข้อดีหลายประการ คือ ปลาย catheter นิ่ม กลม และยืดหยุ่นได้ดีกว่า จึงไม่ทำให้ผนัง มดลูกทะลุง่ายและมีอันตรายต่อทารกน้อยกว่า และ เนื่องจากปลาย transducer จะอยู่ภายในโพรงมดลูก ดังนั้นจึงไม่เกิดการอุดตัน และผู้คลอดสามารถยับ ตัวเคลื่อนไหวได้โดยไม่พบรากเบลี่ยนแปลงในความ ดันมากเนื่องจากปลาย transducer จะเคลื่อนตาม ผู้คลอด นอกเหนือนี้ยังพบว่าอัตราการติดเชื้อหลัง คลอดก็ไม่เพิ่มขึ้น⁽¹⁾

Gaeltec transducer catheter ที่ใช้นี้ยาว 900 ม.ม. มีเส้นผ่านศูนย์กลางประมาณ 2.7 ม.ม. การฝ่าเชื้อโรคภัยหลังใช้แล้ว ก็โดยการแช่ในเหลอด แก้วที่บรรจุ 2% aqueous activated glutaraldehyde solution เวลาใส่ catheter เข้าไปในโพรงมดลูก ปลาย catheter ควรอยู่ในโพรงมดลูกประมาณ 20-30 ซม.⁽¹⁾

การวัดปริมาณการหดรัดตัวของมดลูก (Uterine activity) มีหลายวิธีได้แก่ Montevideo units⁽²⁾ (รูปที่ 1)

Average I × Frequency/10 min

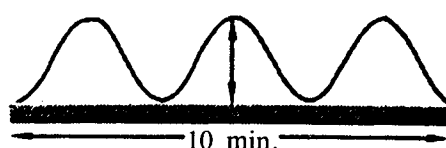


Figure 1 Method for quantitation of - uterine activity by Montevideo units.

การวัดทั้ง 2 วิธีข้างต้น ทำได้ยาก สำหรับมดลูก หดรัดตัวไม่สม่ำเสมอ ดังนั้นจึงได้มีการวัดปริมาณ

Alexandria units⁽³⁾ (รูปที่ 2)

Average I × Frequency/10 min × Average duration

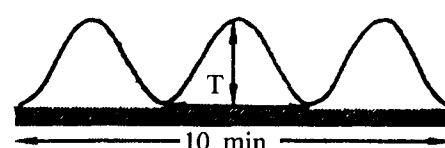


Figure 2 Method for quantitation of - uterine activity by Alexandria units.

พื้นที่ใต้ Contraction curve แทน (Contraction area)

Intra-uterine pressure

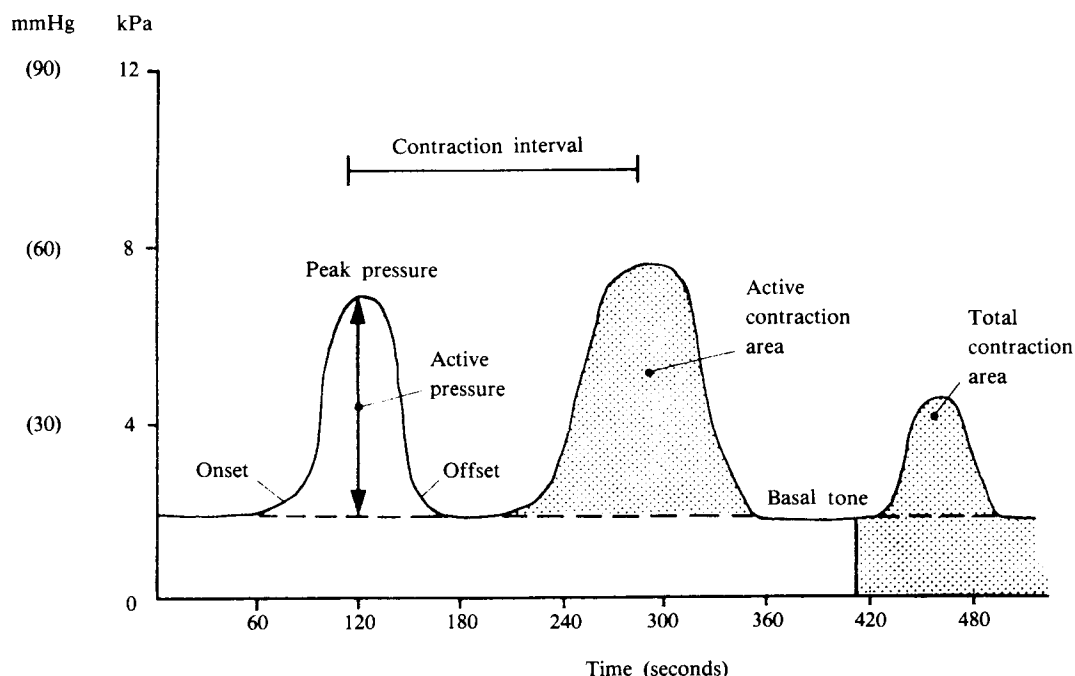


Figure 3 Method for quantitation of uterine activity by measurement of Contraction area.

ກາວັດ Uterine contraction area ມີການວັດໄດ້ 2 ແບບ ໄດ້ແກ່ ກາວັດ Total area ແລະ ກາວັດ Active contraction area (ດັ່ງຮູບທີ 3) ກາວັດ Total area ນັ້ນ ຕ້ອງວັດຮ່ວມເອາພື້ນທີ່ທີ່ອູ່ໄດ້ basal tone ດ້ວຍຫົ່ງທຳໄດ້ຍາກ ເນື່ອຈາກກາວັດ basal tone ນີ້ມີ artifact ມາກ ເຊັ່ນເກີດຈາກ abdominal wall pressure ແລະ ອາຈາກເກີດຈາກຕໍາແໜ່ງຂອງ catheter ໃນທີ່ຕ່າງໆ ໃນໄພຣມດລູກຈະທຳໄດ້ basal tone ປິດໄປ ດັ່ງນັ້ນ Steer⁽⁴⁾ ຈຶ່ງໃຊ້ Active contraction area ແກນ ໂດຍນໍາເອາ Active contraction area ທັ້ງໝົດທີ່ເກີດໃນ 15 ນາທີມາຮວມກັນເຮັດວຽກເປັນ Uterine activity integral ຮູ່ອ UAI ໂດຍເບາເຫຼື່ອວ່າຄ່າ basal tone ມີຜລຕ່ອງຄວາມກ້າວໜ້າຂອງກາວັດຮ່ວມຕໍ່ຄລອດນ້ອຍມາກ

ກາວັດປົມານກາຮດຮັດຕົວຂອງມດລູກ (Uterine activity) ໂດຍວິທີກາໃຊ້ Uterine activity integral (UAI) ສໍາເລັດຢູ່ເປັນ KPas/15 min (kilo Pascal Seconds/15 min) (13.3 KPa = 100 mmHg)

ກາວັດ Uterine activity ໂດຍກາໃຊ້ UAI ສໍາເລັດຢູ່ເປັນ

1) ເມື່ອຜູ້ຄລອດໄມ້ໄດ້ອູ່ໃນຮະຍະເຈັບຄຣກ්ຈົງ (ໄມ້ມີກາຮດຮັດຕົວຂອງມດລູກ) ດ່າ UAI ຈະເທົ່າກັບ 0 ດ່າ Mean UAI ເມື່ອຜູ້ຄລອດອູ່ໃນຮະຍະເຈັບຄຣກ් ຈົງເທົ່າກັບ 1100 KPas/15 min ແລະ ພບວ່າຄວາມກ້າວໜ້າຂອງກາວັດຮ່ວມຕໍ່ຄລອດ (progress in labor) ມີຄວາມສັນພັນຮັກດ່າ UAI

2) ເມື່ອຜູ້ຄລອດເປີ່ຍິນທ່າ ແນວ່າຈະທຳໄດ້ basal tone ເປີ່ຍິນແປ່ງ ແຕ່ກໍໄມ້ຜລຕ່ອງດ່າ UAI (ເພວະດ່າ UAI ເປັນກາວັດ Active contraction area ທີ່ອູ່ເໜືອ basal tone) ດັ່ງນັ້ນຈຶ່ງເປັນການບອກປົມານກາຮດຮັດຕົວຂອງມດລູກທີ່ແກ່ຈົງ ກ່າວກົດຂອງກາວັດປົມານກາຮດຮັດຕົວຂອງມດລູກ^(5,6)

Steer⁽⁶⁾ ໄດ້ສຶກຂາຜູ້ຄລອດທັງທີ່ເຈັບຄຣກ්ເອງ ແລະ ທີ່ລູກຈະຕຸ້ນໂດຍ oxytocin ເພື່ອຫາດ່າປົກຕິຂອງກາວັດປົມານກາຮດຮັດຕົວຂອງມດລູກ (Uterine

activity) ໂດຍໃຊ້ດ່າ UAI ພບວ່າ

1) ໄມ່ພບຄວາມແຕກຕ່າງກັນຂອງ Uterine activity ຂອງຜູ້ຄລອດຄຣກ්ແຮກແລະ ຄຣກ්හັ້ງ ກາວທີ່ຜູ້ຄລອດຄຣກ්ຫລັງຄລອດເຮົວເນື່ອຈາກມີ pelvic tissue resistance ນ້ອຍ

2) ໄມ່ພບຄວາມແຕກຕ່າງກັນຂອງ Uterine activity ໃນຜູ້ຄລອດທີ່ເຈັບຄຣກ්ເອງ ແລະ ຜູ້ຄລອດທີ່ລູກຈະຕຸ້ນໃຫ້ເຈັບຄຣກ්

3) Mean UAI ທັ້ງ 2 ກລຸ່ມເທົ່າກັບ 1100 kPas/15 min

4) Upper tenth percentile ຂອງ Uterine activity ເທົ່າກັບ 1500 kPas/15 min

Steer ແນະນໍາວ່າ ໄມ່ຄວາມຈະຕຸ້ນມດລູກໃຫ້ຫຼຸດຮັດຕ່ວງຈຳ UAI ເກີນຄ່ານີ້ ເນື່ອຈາກມັນຈະໄມ້ທຳໄໝກາຮດອດຈຳເນີນໄປເຮົວຂັ້ນ ແຕ່ກໍລັບທຳໄໝເພີ່ມອັດຮາເສີ່ຍ່ງຕ່ອງກາວະ hyperstimulation ແລະ fetal hypoxia

5) Lower tenth percentile ຂອງ Uterine activity ເທົ່າກັບ 700 kPas/15 min ດັ່ງນັ້ນສໍາດ່າ UAI ຈຳກວ່າ 700 kPas/15 min ແນະນໍາໄໝເພີ່ມ dose ຂອງ oxytocin

6) ສໍາດ່າຂອງ Uterine activity ອູ່ຮ່ວມມືນການຮັດຕົວຂອງມດລູກ 700-1100 kPas/15 min ກາວທຳໄໝກາຮດອດຄຣກ් ແຕ່ໃໝ່ຜູ້ຄລອດບາງຄນສໍາມື່ pelvic tissue resistance ມາກ ກາວທຳໄໝກາຮດອດອາຈະຈຳ້າ ໃນການຟິດກຳລັວ ກາວກັບກາວ່າອັນຕັບແຮກກົມ່າເວົ້າສາຫະແດຖ ແລະ ກໍາຈັດສາເຫຼຸດທີ່ທຳໄໝກາຮດອດຈຳເນີນໄປໜ້າເຫັນໃນການຟິດ full bladder ກໍໄໝສົວນັບສະສາກ

7) ສໍາປາກມດລູກໄມ້ເປີມາກັ້ນທັ້ງໆ ທີ່ມີ Uterine activity ປົກຕິ ເປັນເວລາມາກວ່າ 4 ຊົ່ວໂມງ ແສດງວ່າມີກາວະ dystocia ເກີດຂຶ້ນ

8) ນອກຈາກນີ້ຍ່ານາງອ່າງອ່ານາຈມີຜລຕ່ອງກາຮດຮັດຕົວຂອງມດລູກ ໂດຍອາຈກຈະຕຸ້ນທຳໄໝກາຮດຮັດຕົວ ເພີ່ມຂຶ້ນຫຼືຍັນຍື່ງກາວັດຮ່ວມຕົວຂອງມດລູກ⁽⁷⁾ (ດູຕາຮາງທີ່ 1)

Table 1 Drugs affecting uterine contractions.

Stimulating drugs	Inhibiting drugs
Acetylcholine	Beta-sympathomimetics
Ergonovine	Ritodrine, Orciprenaline
Estrogen	Isoxsuprine, Salbutamol
Meperidine (Demeral)	Fenoterol, Epinephrine
Norepinephrine	Diazoxide
Oxytocin	Ethanol
Propanalol	Halothane
Prostaglandins	Magnesium sulfate
Quinine	Progesterone
Sparteine sulfate	Prostaglandin inhibitors
Vasopressin	

2. พยาธิสรีรวิทยาในการควบคุมอัตราการเต้นของหัวใจทารก

เมื่ออายุครรภ์ประมาณ 9 สัปดาห์ หัวใจทารกจะเต้นเร็วประมาณ 175 ครั้งต่อนาที⁽⁸⁾ ซึ่งควบคุมด้วย pace-maker เองโดยการตุ้นผ่านมาทาง SA node เมื่ออายุครรภ์ได้ 20 สัปดาห์ จะมีเส้นประสาทจากระบบประสาಥ่อโนมิก (Autonomic nervous system) มาควบคุมการเต้นของหัวใจ ทำให้อัตราการเต้นลดลงอยู่ระหว่าง 120-160 ครั้ง/นาที ระบบประสาಥ่อโนมิกที่ควบคุมการเต้นของหัวใจให้เป็นปกติได้รับอิทธิพลมาจากการต่อไปนี้

- 1) ระบบประสาท parasympathetic หรือเส้นประสาท vagus
- 2) ระบบประสาท sympathetic
- 3) ระบบการควบคุมภายในโดยตัวของมันเอง
- 4) ระบบกลไก反射ซึ่งอัตโนมิก (Autonomic reflex mechanisms)

ในบางกรณีซึ่งพบได้น้อยมาก อัตราการเต้นของหัวใจอาจถูกเปลี่ยนแปลงโดยเกิดจากความผิดปกติในการส่งผ่านของกระแสประสาทในหัวใจเอง^(8,10)

ระบบประสาท parasympathetic หรือเส้นประสาท vagus จะทำให้หัวใจของทารกเต้นช้า โดยจะไปสัมภักดันที่ SA node ต้นกำเนิดของระบบประสาทนี้จะอยู่ที่ Medulla oblongata⁽¹²⁾ ระบบประสาท parasympathetic นี้จะค่อยๆ มีความสำคัญมากขึ้นในระยะหลังๆ ของการตั้งครรภ์

ระบบประสาท sympathetic จะทำให้หัวใจทารกเต้นเร็ว แต่ระบบนี้เป็นระบบที่ซับซ้อนมากกว่า เพราะประกอบด้วย alpha และ beta adrenergic ซึ่งการตอบสนองในการก้มเมื่อเห็นผู้ใหญ่ เช่น ถ้ามีการกระตุ้นผ่านทาง adrenergic อยู่ตลอดเวลาจะมีผลกลับทำให้หัวใจทารกเต้นช้าลง⁽⁹⁾ ต้นกำเนิดของระบบประสาท sympathetic อยู่ที่เส้นประสาท thoracolumbar⁽¹²⁾ ตั้งนั้นเมื่อทารกถูกกระตุ้นโดยภาวะเครียดอยู่ตลอดเวลา ทารกจะตอบสนองโดยที่ทำให้หัวใจเต้นช้าลง⁽⁹⁾

Schifferli และ Caldeyro Barcia⁽¹³⁾ พบว่า ตัวเม็ด atropine ซึ่งเป็นสาร parasympatholytic แก่มาตรา จะทำให้ Baseline fetal heart rate (FHR) เร็วขึ้น ซึ่งการเปลี่ยนแปลงใน baseline FHR ที่เพิ่มขึ้นนี้จะแปรตามอายุครรภ์ของทารกดังรูป (รูปที่ 4) ซึ่งแสดงว่าผลของระบบประสาท

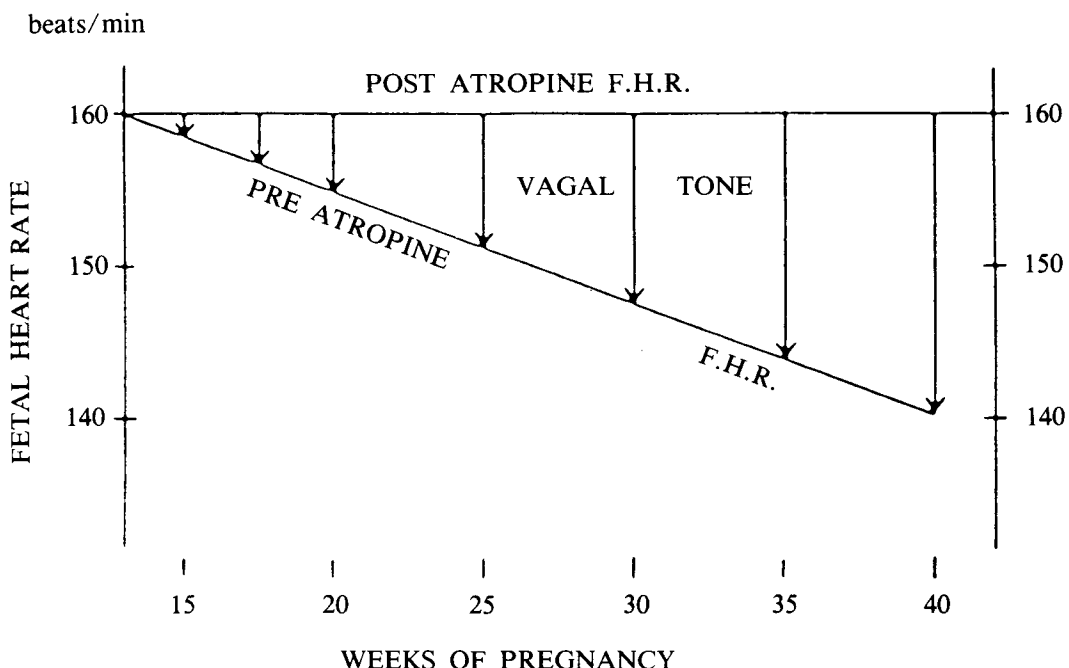


Figure 4 The preatropine FHR shows that the average FHR decreases as gestational age increase. The postatropine FHR shows that the FHR after atropine administration rises to approximately 160 BPM, regardless of gestational age, indicating increasing vagal tone as gestational age increases.

parasympathetic ຕ່ອງຫວ່າໃຈທາກຈະມີຜລມາກີ່ນ
ສ້າງອຸຍຄຣຳຂອງທາກເພີ່ມີ່ນ

ແຕ່ Dalton ແລະ ຄະ (14) ຕັ້ງສົມມຕືຖານວ່າ
ຕ່ວ່າໃຈຂອງທາກເອງນໍາຈະມີສ່ວນໃນກາງຄວາມຄຸມອັຕຣາ
ກາເຕັ້ນຂອງຕ້ວມັນເອງດ້ວຍ ທີ່ງແນວໄນ້ມໃນກາງຄວາມຄຸມ
ຕ້ວມັນເອງຈະລັດນ້ອຍລັງເມື່ອອຸຍຄຣຳມາກີ່ນ

ນອກຈາກນີ້ອັຕຣາກາເຕັ້ນຂອງຫວ່າໃຈທາກຍິ່ງີ່ນ
ກັບຮະບນກລໄກຣີເຟັກໜ້ອໂໂໂນມີກ 2 ອຢ່າງ ອື່ອ
baroreceptors reflex ແລະ chemoreceptors
reflex^(8,9)

Baroreceptors reflex ພບທີ aortic arch
ແລະ carotid sinus ຮີເຟັກໜ້ອນີ້ຈະຕອບສົນອງຕ່ອ
ຄວາມດັນເລືອດ ໃນກາງຄວາມຄຸມກາເຕັ້ນຂອງຫວ່າໃຈຄື່ອ
ສ້າງເກີດຄວາມດັນເລືອດສູງຈະໄປກະຮຸ່ນ baroreceptors
reflex ທຳໄໝຫວ່າໃຈເຕັ້ນຫ້າລັງ ແຕ່ສ້າຄວາມດັນເລືອດທໍາ
ຈະໄປກະຮຸ່ນຮີເຟັກໜ້ອນີ້ ທຳໄໝຫວ່າໃຈເຕັ້ນເຮົວໜ້ຳ⁽⁸⁾

Chemoreceptors reflex ພບທີ aortic ແລະ
carotid body ແລະ ພບທີສມອງສ່ວນ Medulla
oblongata chemoreceptors ທີ່ພບທີສມອງສ່ວນ
Medulla oblongata ນີ້ຈະຕອບສົນອງຕ່ອຄວາມເຂັ້ມ
ຂັ້ນຂອງອອກຫີເຈັນ ແລະ ອາຮົບອນໄດ້ອອກໄ໐ໂດ ໂດຍສ້າ
ຄວາມເຂັ້ມຂັ້ນຂອງອອກຫີເຈັນລົດລົງ ຢີເຟັກໜ້ອນີ້ສມອງ
ນີ້ຈະໄປກະຮຸ່ນໃຫ້ຫວ່າໃຈເຕັ້ນເຮົວໜ້ຳແລະເພີ່ມຄວາມດັນ
ເລືອດດ້ວຍ ສ່ວນ chemoreceptors ສ່ວນປາຍຈະ
ຕອບສົນອງໄມ່ເໜືອນກັບ chemoreceptors ທີ່ສມອງ
ໂດຍທີ່ມີຄວາມແປປຽນມາກຳກ່າວ່າ carotid receptors
ຈະເກີຍຂ້ອງກັບການເປົ່າຍັນແປ່ງໃນອັຕຣາກາຫຍາໃຈ
ສ່ວນ acritic receptors ຈະເກີຍຂ້ອງກັບແຮງດັນຂອງ
ອອກຫີເຈັນ (pO_2) ໃນກະແສເລືອດ ໂດຍສ້າງຮັດດັນ
ຂອງອອກຫີເຈັນຕໍາລົງຈະໄປກະຮຸ່ນ aortic receptors
ທີ່ຈະຈຳທຳໃຫ້ຫວ່າໃຈທາກເຕັ້ນຫ້າລັງ⁽⁸⁾

สมองที่เป็นศูนย์กลางการควบคุมของระบบประสาಥ่อโนมิก และระบบกลไกเรไฟล์สก์อโนโนมิก ซึ่งทำหน้าที่ควบคุมการเต้นของหัวใจจะอยู่ที่สมองส่วน Medulla oblongata ซึ่งจะเป็นบริเวณที่จะเก็บเอากระแสัญญาณจากระบบต่าง ๆ ดังกล่าวมารวบรวม แล้วส่งผ่านไปยังเส้นประสาท vagus ซึ่งจะไปควบคุมอัตราการเต้นของหัวใจ และ beat-to-beat variability อีกด้วย(8)

3. การย้ายผ่านออกซิเจนในรก (Placental oxygen transfer) และการให้ออกซิเจนแก่ทารก (Fetal oxygenation)

การที่ทารกในครรภ์จะได้ออกซิเจนจากการเดินทางผ่านหัวใจไปยังหัวใจของมารดา และการไหลเวียนของเลือดในมารดา) และองค์ประกอบของทารก (ซึ่งได้แก่ การไหลเวียนของเลือดผ่านรก และการไหลเวียนของเลือดในตัวทารกเอง)

ออกซิเจนจากการเดินทางผ่านรกโดยขบวนการ facilitated diffusion โดยอาศัยความแตกต่างของความเข้มข้นออกซิเจนในเลือดของมารดา และในเลือดของทารก(8)

เลือดจาก uterine artery จะไหลจากมารดาไปยังรกโดยมีความเข้มข้นและแรงดันออกซิเจนสูงกว่าเลือดจาก umbilical artery ที่ไหลจากทารกไปประจำมีความเข้มข้นและแรงดันออกซิเจนต่ำกว่าเลือดจากทารก เนื่องจากความแตกต่างของความเข้มข้นและแรงดันออกซิเจนสูงขึ้น

การแลกเปลี่ยนออกซิเจนผ่านรกโดยขบวนการดังกล่าวจะเพียงพอแก่ความต้องการของทารก

4. การตอบสนองทางสตresseียของทารกต่อภาวะเครียด (stress) ที่เกิดเนื่องมาจากการ hypoxia

ถ้ามีออกซิเจนเพียงพอ ทารกจะนำกลูโคสมา

ใช้เป็นพลังงานและเปลี่ยนให้เป็นกากคาร์บอนไดออกไซด์ ครรภ์บ่อนไดออกไซด์จะถูกขับถ่ายออกจากร่างกายผ่านทางมารดาอย่างง่ายดาย(15)

การที่เส้นเลือดแดง spiral ไหลผ่านมดลูกในแนวตั้งจาก และเส้นเลือดดำไหลผ่านมดลูกในแนวขนานกับผนังมดลูก ดังนั้นมีเม็ดลูกเกิดการหดรัดตัว จะทำให้เส้นเลือดดำถูกปิดเป็นการป้องกันไม่ให้เลือดซึ่งมีออกซิเจนอยู่ในปริมาณสูงไหลออกจาก intervillous space สาเหตุอาจจะเป็นการตัดขวางการไหลเวียนของเลือด และการส่งผ่านออกซิเจนไม่ถูกจัดการซึ่งมีผลต่อการหายใจและการตอบสนองต่าง ๆ กัน(15) ถ้าออกซิเจนในทารกลดลงประมาณร้อยละ 50 จากปกติ จะทำให้เกิด anaerobic metabolism ในเซลล์ของทารก

Fetal hypoxia⁽⁸⁾ สามารถเกิดได้จาก การลดลงของ umbilical venous pO₂ (Hypoxic hypoxia), การลดลงของ fetal oxygen capacity (Anemic hypoxia) และการลดลงของ fetal perfusion (Circulatory hypoxia)

ในการปกติจะสามารถทนต่อการหยุดของการไหลผ่านของเลือด ระหว่างที่มดลูกหดรัดตัวซึ่งเกิดขึ้นทุก 2-3 นาทีได้ โดยที่ไม่มีการเปลี่ยนแปลงในอัตราการเต้นของหัวใจ และการเปลี่ยนแปลงในสภาวะความเป็นกรด-ด่าง แต่ถ้าอย่างไรก็ตามถ้าการหดรัดตัวของมดลูกนานเกินไปจะทำให้เลือดไหลผ่านมดลูกและไหลผ่านรากลดลงมาก ซึ่งจะทำให้การขับถ่ายคาร์บอนไดออกไซด์ของทารกลดลง ทำให้เกิด respiratory acidosis ซึ่งถ้าซึ่งมีการหดรัดตัวนานต่อไปอีก จะทำให้ทารกขาดออกซิเจนและเกิด anaerobic metabolism ทำให้เกิดมีการสร้างและสะสม กรด pyruvic และกรด lactic ทำให้เกิด metabolic acidosis ซึ่งกรด lactic จะผ่านรกได้ช้ามาก ดังนั้นระดับของ lactate ในเลือดของทารกจึงเป็นเครื่องบ่งชี้ที่ดีในการประเมินว่า

อาการมี distress หรือไม่ และยังช่วยบ่งบอกถึงความรุนแรงของ distress ได้ด้วย^(15,16,17)

เมื่อเกิดภาวะ hypoxemia เกิดขึ้น จะกระตุ้นให้หัวใจการเดินช้าลงเกิด Late decelerations ความรุนแรงในการเปลี่ยนแปลงในอัตราการเดินของหัวใจการ และระยะเวลาระหว่างที่มีคลูกริมหด ตัวจนถึงระยะเวลาที่เริ่มเกิด Late decelerations (latency period) มีความสัมพันธ์โดยตรงกับความรุนแรงของ asphyxia ในทาง⁽¹⁰⁾

อาการที่ปัจจุบัน มีการตอบสนองต่อออกซิเจนที่ลดลงอีกรูปแบบหนึ่งคือ มีการกระจายของเลือดไปยังอวัยวะต่าง ๆ เลือดที่ไหลไปยังอวัยวะที่จำเป็นแก่การดำรงชีวิต (เช่น สมอง หัวใจ และต่อมหมากใต้) จะเพิ่มมากขึ้นให้อวัยวะตังกล่าวได้ออกซิเจนเพียงพอ การที่ pO_2 ลดลงจะมีผลทำให้มีการเปลี่ยนแปลงใน FHR pattern การเปลี่ยนแปลงดังกล่าวจะขึ้นกับสาเหตุที่ทำให้ pO_2 ลดลง⁽⁸⁾

ถ้าการที่ pO_2 ลดลงเกิดจากการส่งผ่านออกซิเจนผ่านรกรไม่เพียงพอ (เช่น ความดันเลือดของมารดาต่ำ การทำงานของรกรผิดปกติหรือเส้นเลือดที่ไปยังมดลูกเกิดการอุดตัน) ผลที่เกิดจากการขาดออกซิเจนจะทำให้หัวใจเต้นช้า (หัวใจการจะเต้นช้าลงเกิด bradycardia เมื่อ pO_2 มีค่าต่ำกว่า 19 ม.m. proxoth⁽¹⁹⁾) การที่หัวใจการเดินช้าเป็นผลจากการกระตุ้น chemoreceptors ส่วนปลายแล้วส่งผ่านต่อมยังส่วนประสาท vagus FHR pattern ที่พบจะเป็น Late decelerations เนื่องจาก การเปลี่ยนแปลงดังกล่าวเกิดจาก hypoxemia เท่านั้น ยังไม่ถึงกับเกิด hypoxia (hypoxia หมายถึงภาวะ

ที่การส่งผ่านออกซิเจนให้แก่เนื้อเยื่อไม่เพียงพอแก่ความต้องการ) ทำให้สมองและหัวใจยังมีออกซิเจนเพียงพอแก่ความต้องการ ดังนั้น beat-to-beat variability ยังคงเป็นปกติ ต่อมาร้า pO_2 ต่ำลงเรื่อยๆ ทำให้ออกซิเจนที่ไปยังเนื้อเยื่อทางร่างกายเพียงพอ เกิด hypoxia ผลจะทำให้เกิด anaerobic metabolism เกิดมีกรด lactic สะสมในเลือดเกิดภาวะเลือดเป็นกรด เมื่อเกิดภาวะดังกล่าว beat-to-beat variability จะหายไปซึ่งแสดงว่าออกซิเจนที่ไปยังสมองและหัวใจไม่เพียงพอ และเกิดการกดการทำงานของกล้ามเนื้อหัวใจเกิดขึ้น⁽¹⁵⁾

ถ้าการที่ pO_2 ของทางกลดลงเกิดจากการรบกวนในการไหลเวียนเลือดของทางราก เช่น สายสะดือถูกกด การตอบสนองในอัตราการเดินหัวใจจะแตกต่างกัน เมื่อสายสะดือถูกกดเพียงบางส่วน (partial occlusion) ในระยะแรก ผลที่ตามมาคือ umbilical vein จะถูกกดก่อน ทำให้เลือดที่ไหลกลับเข้าสู่หัวใจทางกลดลง ทำให้ cardiac output ลด ผลตามมาคือหัวใจการจะเต้นเร็วขึ้น ถ้าสายสะดืออย่างถูกกดต่อไป (complete occlusion) umbilical artery จะถูกกดตัววาย ทำให้เลือดทางรากที่จะไหล่ไปยังบริเวณที่มีความต้านทานน้อยคือที่รากจะหยุดลง ผลที่ตามมาคือความดันเลือดทางรากจะสูงขึ้น ไปกระตุ้น carotid และ aortic baroreceptors ทำให้หัวใจการเดินช้าลง เมื่อเวลาที่สายสะดือหายจากการถูกกดในระยะแรกก็จะมีผลเหมือนกับการถูกกดเพียงบางส่วนทำให้หัวใจการเดินเร็วขึ้นก่อนแล้วค่อยกลับสู่ภาวะปกติ⁽⁸⁾ ดังรูปที่ 5

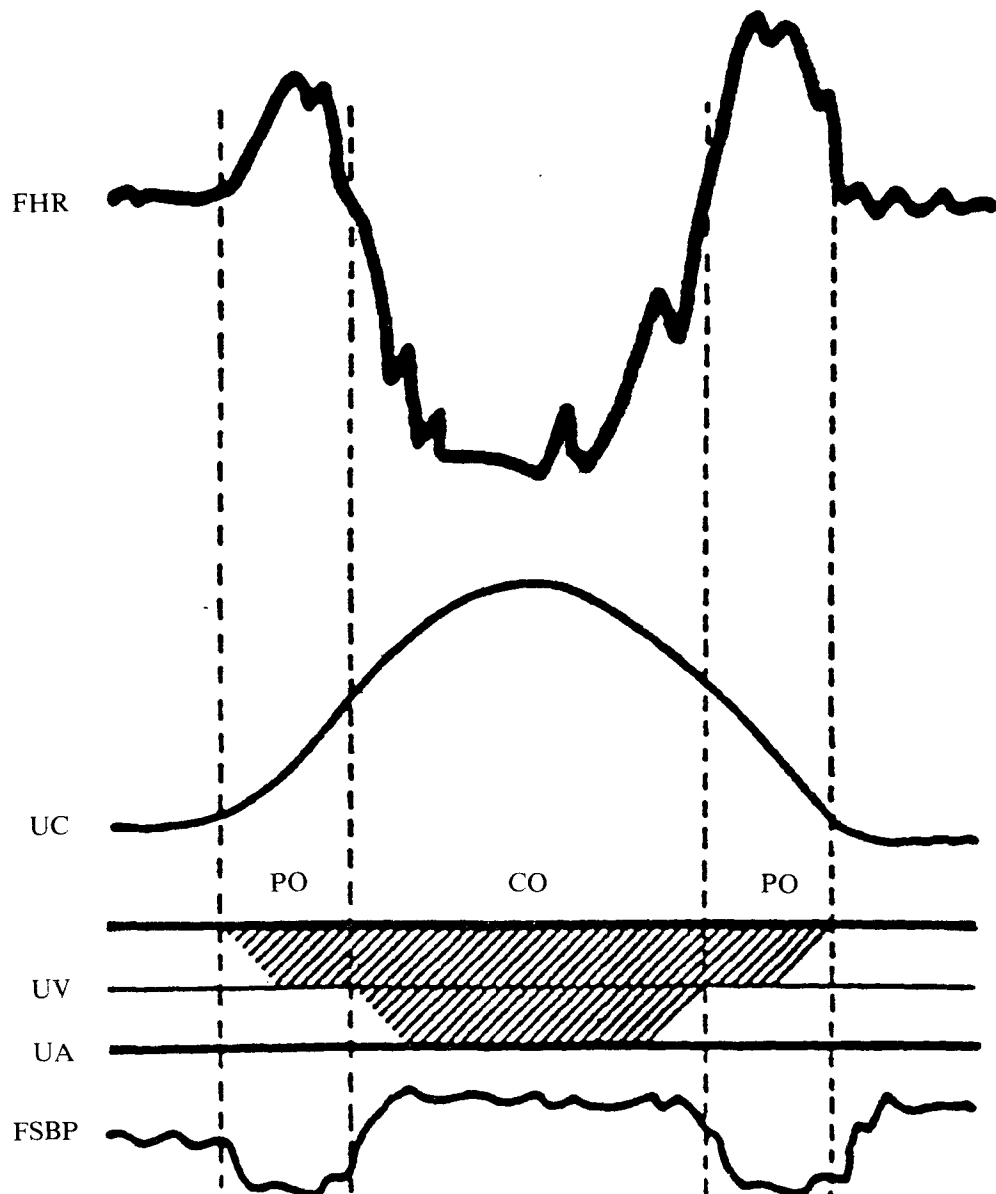


Figure 5 FHR response to cord compression (variable deceleration) (PO = partial obstruction, CO = complete obstruction, UV = umbilical vein, UA = umbilical artery, FSBP = Fetal systemic blood pressure)

ตราบใดที่ pO_2 ของ胎児ไม่ได้ต่ำลงไปเกินจากความต้องการของ胎児มาก การตอบสนองจาก pO_2 ที่ลดลงดังกล่าวจะเป็นผลจาก baroreceptors reflex ถ้า pO_2 ต่ำลงมากต่อไปจนเกิด hypoxia

แล้ว และเกิด metabolic acidosis FHR pattern ก็จะผิดไปจากปกติและทำให้เกิด atypical variable decelerations^(15,18) ได้ ซึ่งจะได้กล่าวในบทต่อไป

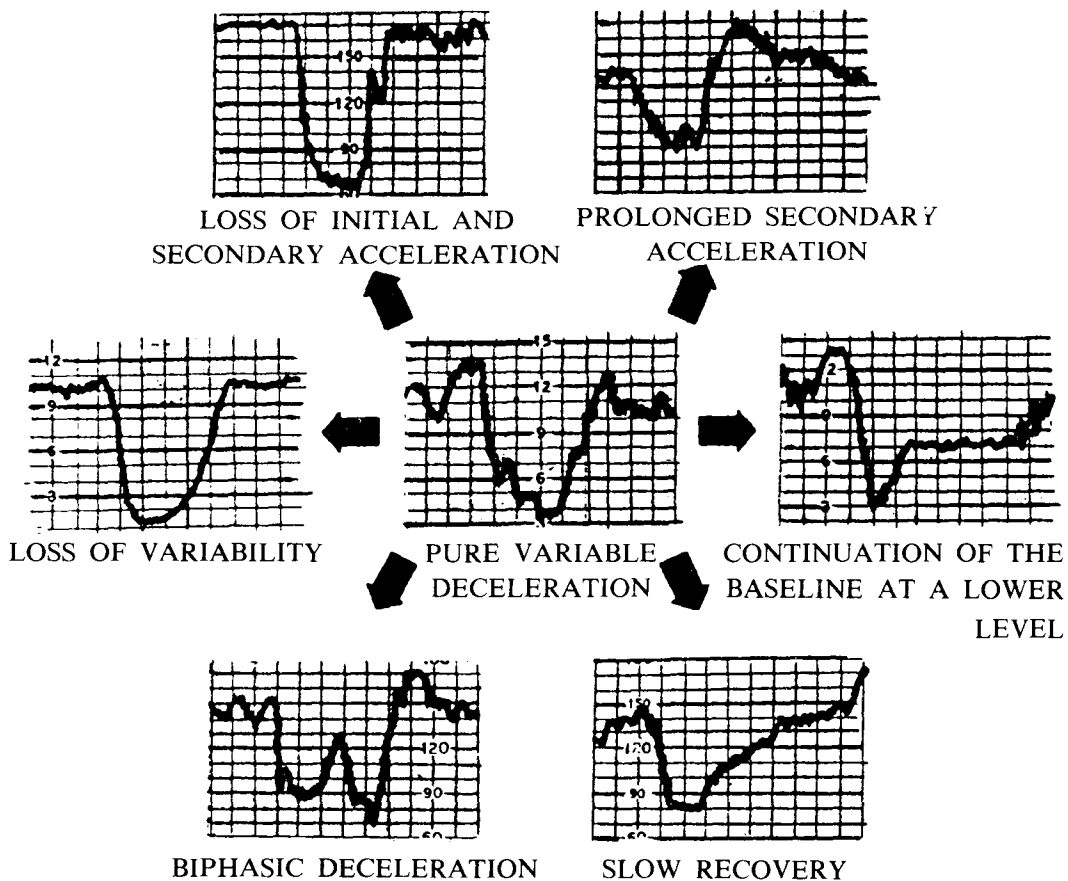


Figure 6 Patterns of atypical variable decelerations.

ซึ่งรูปแบบของ Atypical decelerations ดังกล่าวจะมีความสัมพันธ์กับ pH ของ胎児ที่ต่ำลงซึ่งขึ้นกับความรุนแรงของ decelerations⁽¹⁰⁾

5. การอ่าน Fetal heart rate tracings^(19,20,21)

FHR patterns แบ่งเป็น Baseline และ Periodic change

Baseline patterns จะเป็น heart rate และ variability ที่อยู่ระหว่างการหดรัดตัวของมดลูก ส่วน Periodic changes นั้นคือ FHR ที่มีการเปลี่ยนแปลงเกิดร่วมกับการหดรัดตัวของมดลูก

Table 2 Description of FHR tracings.

Description of FHR tracings	
Baseline features, between uterine contractions	
Rate	
Variability	
Periodic changes, associated with uterine contractions	
Early decelerations	
Late decelerations	
Variable decelerations	
Accelerations	

5.1 Baseline patterns

5.1.1 Baseline fetal heart rate

Normal baseline FHR = 120-160
ครั้ง/นาที

ถ้า FHR มากกว่า 160 ครั้ง/นาที เรียกว่าเป็น Tachycardia

ถ้า FHR น้อยกว่า 120 ครั้ง/นาที เรียกว่าเป็น Bradycardia และถ้าการเปลี่ยนแปลง FHR ดังกล่าวเป็นเพียงชั่วคราวคือน้อยกว่า 2 นาทีเรียกว่าเป็น Accelerations และ Decelerations แทน

5.1.2 Fetal heart rate variability

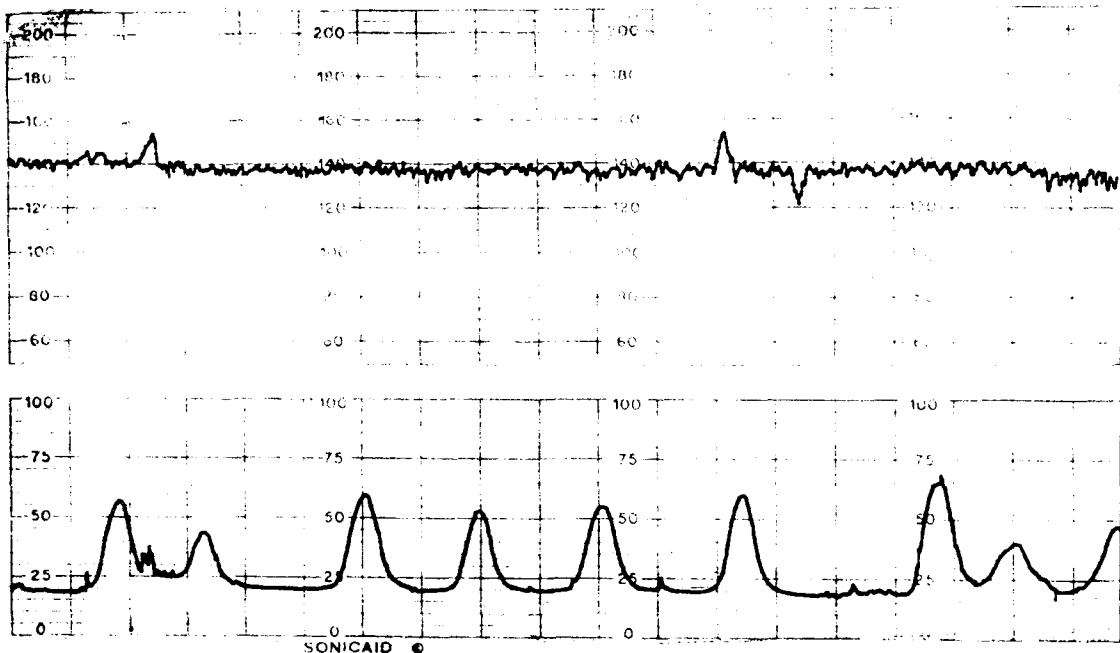
เป็นความแตกต่างของ FHR ที่ปรากฏบน tracings แบ่งได้เป็น

5.1.2.1 Short term variability (STV)

ซึ่งคือ beat-to-beat variability นั้นเอง เป็นความแตกต่างระหว่าง FHR ที่อยู่ติดกัน พบประมาณ 6-10 ครั้งต่อนาที

การดู beat-to-beat variability ต้องสังเกตที่ R wave ของ fetal ECG เท่านั้น ซึ่งสามารถตรวจได้จาก abdominal ECG หรือดู ECG จากการใส่ scalp electrode การดู tracings จาก Doppler ultrasound โดยมากจะพบมี artifact ได้ ไม่ได้เป็น beat-to-beat variability ที่แท้จริง ดังนั้นจึงไม่สามารถใช้ Doppler ultrasound ในการบอกรส STV ได้ถูกต้องตั้งรูปที่ 7

Normal trace – ECG



Normal trace – Ultrasound

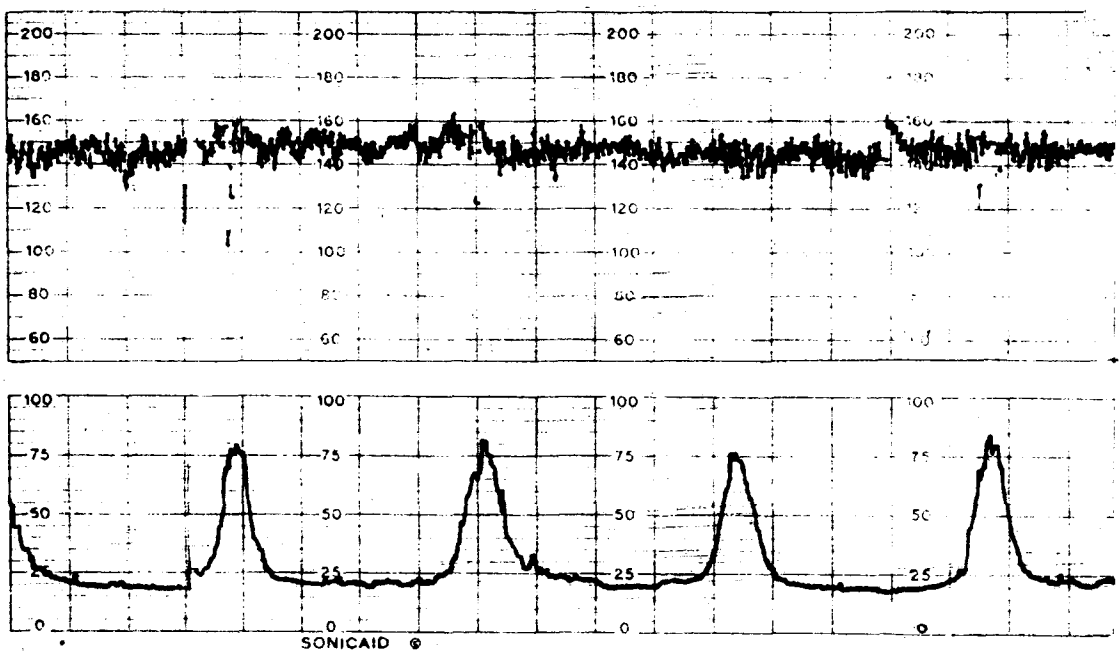


Figure 7 Simultaneous scalp fetal ECG (upper panel) and abdominal Doppler ultrasound (lower panel) derived FHR tracings.

5.1.2.2 Long term variability (LTV)

มีลักษณะเป็นแบบ Irregular crude sine waves ซึ่งจะพบประมาณ 3-6 รอบต่อนาที (cycle/min) ซึ่งสามารถตรวจพบได้ทั้งจาก Doppler ultrasound และ fetal scalp electrode

Long term variability โดยมากมักพบเป็น ๓ แบบ ได้แก่

(1) Normal variability :

Amplitude range ของ FHR variability มากกว่า ๖ ครั้ง/นาที

(2) Decreased variability :

Amplitude range น้อยกว่า ๖ ครั้ง/นาที

(3) Absent variability : Amplitude range น้อยกว่า ๒ ครั้ง/นาที

ถ้า FHR variability มี Amplitude range มากกว่า ๒๕ ครั้ง/นาที เรียก Salatory patterns

การที่พบมี Variability แสดงถึงการมี Intact nervous pathway ผ่านทาง cerebral cortex, mid brain, vagus nerve และ cardiac conduction system ที่ปกติ

5.2 Periodic changes in FHR

พบมี Periodic changes ของ FHR ๔ แบบ ที่เกิดร่วมกับการหดรัดตัวของมดลูก ได้แก่

1) Early decelerations

2) Late decelerations

3) Variable decelerations

4) Acceleration with contractions

5.2.1 Early decelerations (Head compression patterns)

เกิดร่วมกับการหดรัดตัวของมดลูกโดยจุดเริ่มต้นที่ FHR ช้าลงจะเกิดพร้อมกับ จุดเริ่มต้นของการหดรัดตัวของมดลูก และจุดที่ FHR ต่ำสุดจะตรงกับจุดที่การหดรัดตัวของมดลูกมากที่สุด และจะปรากฏทุกครั้งที่มดลูกหดรัดตัว โดยทั่วไป FHR จะลดลงไม่ต่างกว่า baseline มากกว่า ๒๐ ครั้ง/นาที และคงอยู่ไม่เกิน ๑๕ วินาที

Early decelerations มักพบร่วมกับการที่ศีรษะของทารกถูกกด ดังนั้นในบางครั้งเราอาจเรียกเป็น Head compression patterns

กลไกการเกิดที่แท้จริงยังไม่ทราบ เชื่อว่าอาจเกิดจากการขยายตัวของหลอดเลือดดำในสมอง ทำให้เกิดมีการคั่งของเลือดดำไปกระตุ้นที่ Medulla oblongata ให้การควบคุมไปทาง vagus nerve แล้วทำให้หัวใจเต้นช้าลง นอกจากนี้การเกิด hypoxia ในสมองจากการลดลงของเลือดที่ไปเลี้ยงสมอง จะกระตุ้น Chemoreceptors reflex ทำให้หัวใจเต้นช้าลงได้ (ดูหัวข้อที่ 2)

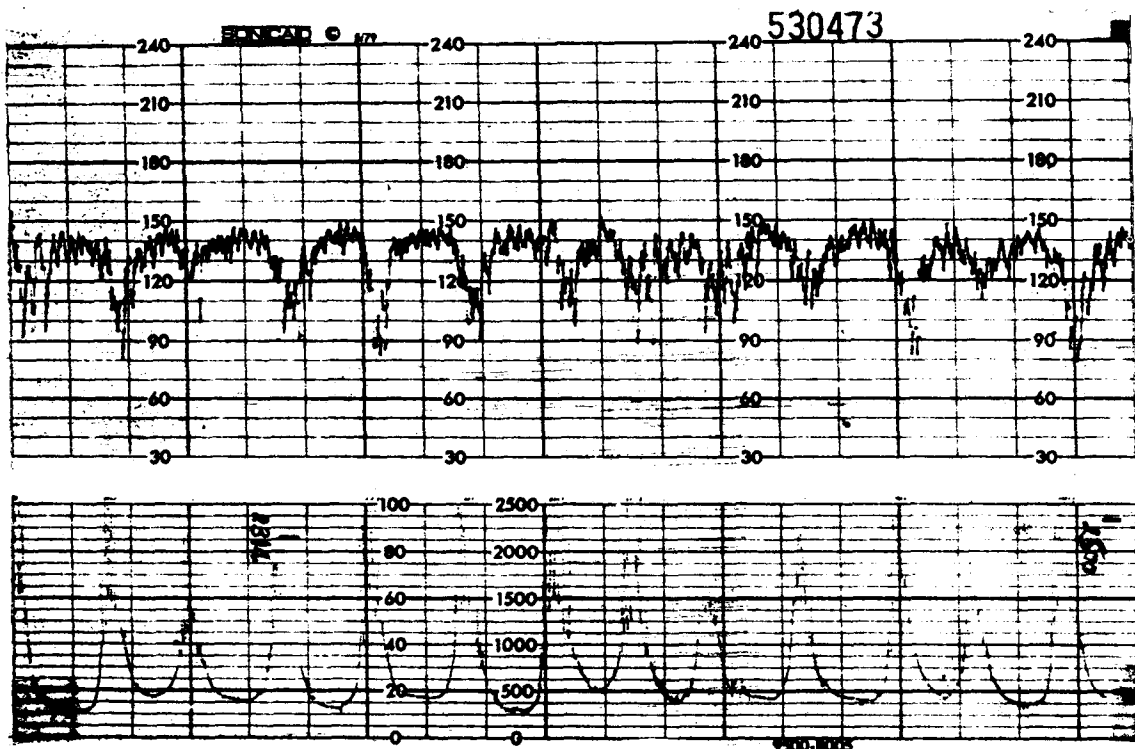


Figure 8 Recording of FHR and uterine activity demonstrating early decelerations due to fetal head compression.

5.2.2 Late decelerations

เกิดร่วมกับการหดรัดตัวของมดลูก โดยจะเริ่มต้นของ FHR ที่เริ่มช้า จุดที่ FHR ต่ำสุด และจุดที่ FHR กลับมาเป็นปกติ จะเกิดช้ากว่าจุดที่มดลูกเริ่มหดรัดตัว จุดที่มดลูกหดรัดตัวมากที่สุด และจุดที่มดลูกคลายตัวตามลำดับ ประมาณ 10-30

วินาที โดยพบว่ามักจะเกิดตลอดและเกิดทุกครั้งที่มดลูกหดรัดตัว FHR ที่ช้าลงจะมีความสัมพันธ์กับความแรงของการหดรัดตัวของมดลูก

กลไกการเกิด Late decelerations ได้กล่าวไว้แล้วในหัวข้อที่ 4

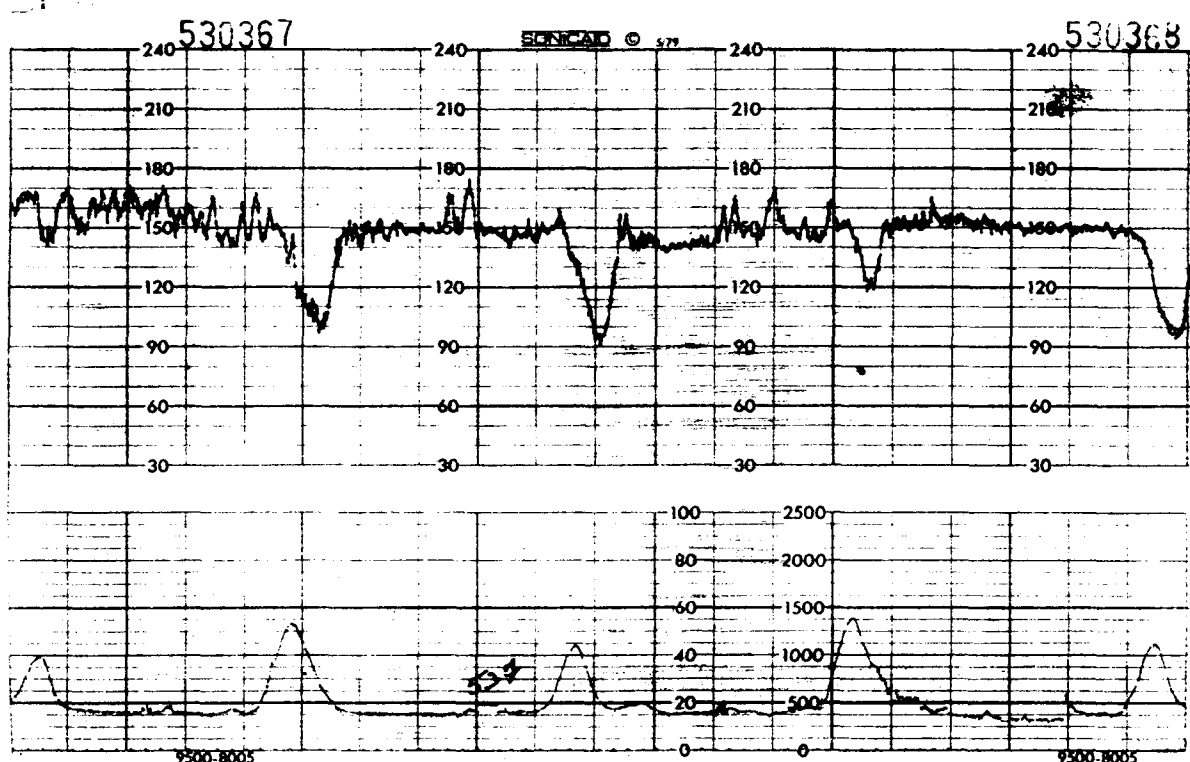


Figure 9 Recording of FHR and uterine activity demonstrating late decelerations.

5.2.3 Variable decelerations

เกิดร่วมกับการหดรัดตัวของมดลูก โดยพบมีลักษณะดังนี้

- การลดลงของ FHR ในแต่ละการหดรัดตัวของมดลูกจะไม่เหมือนกัน และไม่ขึ้นกับระยะเวลาเริ่มต้นหรือระยะเวลาการหดรัดตัวของมดลูก

- การลดลงของ FHR เกิดขึ้นเร็วและลดลงต่ำมาก บางครั้ง FHR จะช้ากว่า 60 ครั้ง/นาที แต่จะกลับสูงปกติโดยเร็ว โดยอาจพบหัวใจการเดินเร็วขึ้นในช่วงระยะเวลาสั้น ๆ ทั้งก่อนและตาม

หลัง deceleration

3. Variable decelerations ที่จัดเป็นแบบรุนแรง (severe) ได้แก่

- FHR ที่ต่ำลงพบเดินช้ากว่า 60 ครั้ง/นาที

- FHR ที่ต่ำลงพบต่ำกว่า baseline มากกว่า 60 ครั้ง/นาที

- FHR ที่ช้าลงนี้พบอยู่นานกว่า 60 วินาที

กลไกการเกิด Variable decelerations ได้ก่อตัวแล้วในหัวข้อที่ 4

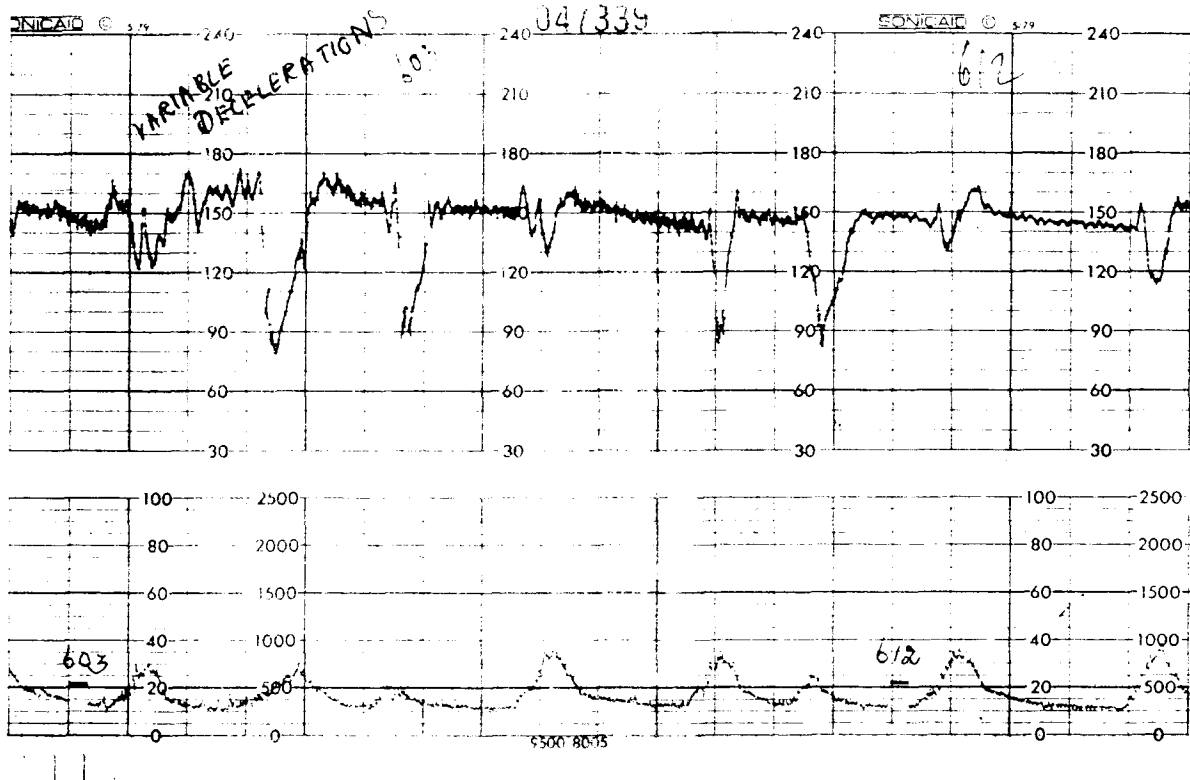


Figure 10 Recording of FHR and uterine activity demonstrating variable decelerations.

5.2.4 Accelerations with contraction

บางครั้งเมื่อมดลูกหดรัดตัว FHR อาจเร็วขึ้นซึ่งพบว่ามีความสำคัญในการบอกรสุขภาพของ การกัดครรภ์คล้ายกับ FHR variability

การที่การกัดตื้นมีการเคลื่อนไหว ถ้าเกิด ร่วมกับการที่มดลูกหดรัดตัวจะทำให้ FHR เร็วขึ้น ได้ เป็นผลจากการที่มี sympathetic activity มาก

กว่า Parasympathetic activity นอกเหนือจากการ เกิด Accelerations ร่วมกับการหดรัดตัวของมดลูก อาจเกิดจากที่มีการกดสายสะตือเพียงบางส่วน กลไก การเกิดได้ก่อตัวแล้วในหัวข้อที่ 4

ดังนั้นการพบมี FHR เร็วขึ้น ในช่วง ระหว่างการเจ็บครรภ์คลอด โดยไม่พบมี Variable decelerations ก็เป็นเครื่องแสดงอย่างหนึ่งว่าการ ยังดีอยู่

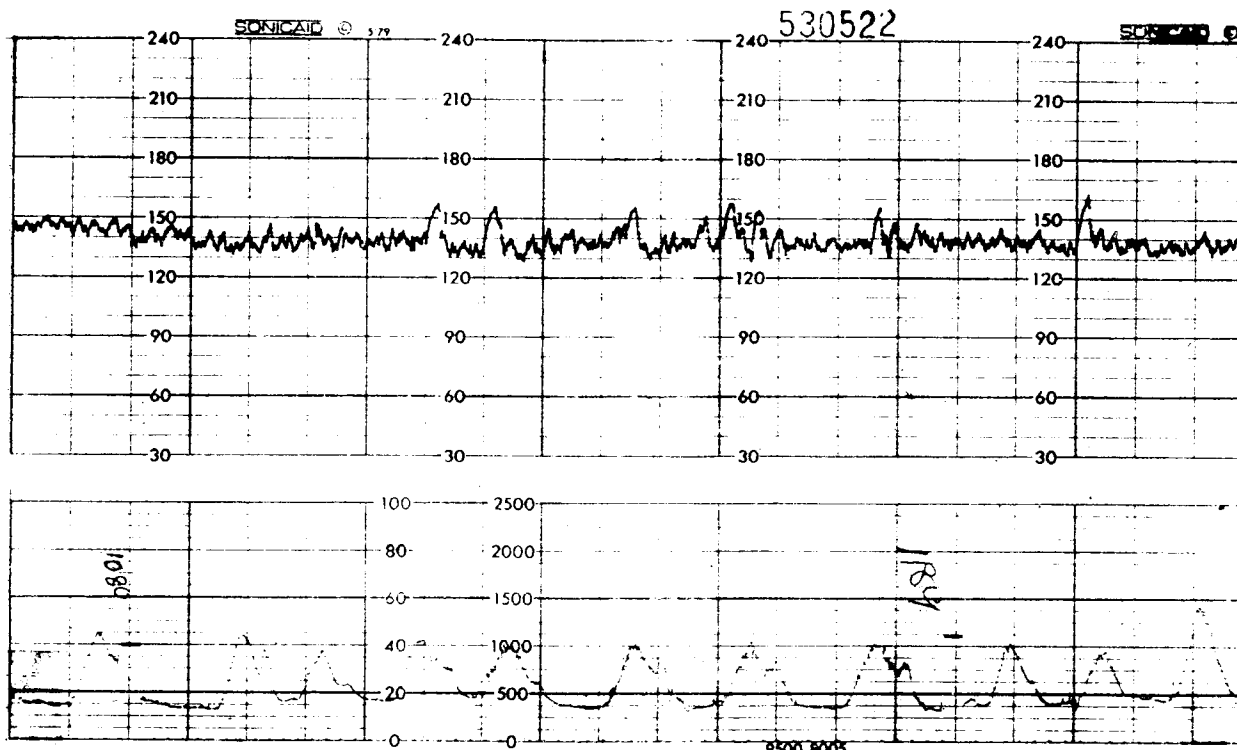


Figure 11 Recording of FHR and uterine activity demonstrating FHR accelerations associated with uterine contractions.

6. Classification of FHR tracings

6.1 FHR tracings ที่ปกติ มีลักษณะดังนี้^(19,20,21,22)

Baseline rate เท่ากับ 120-160 ครั้ง/นาที
Baseline variability มากกว่า 6 ครั้ง/นาที
(Amplitude range)

Periodic pattern ถ้าพบจะเป็นแค่ Early decelerations หรือ Accelerations

ถ้าพบ FHR pattern ดังกล่าวการเก็บคลอดออกมาร้อยละ 98 ในช่วง 2-3 นาทีที่ต่อมาจะปกติ และมี Apgar score ที่ 1 นาทีมากกว่า 7⁽²¹⁾

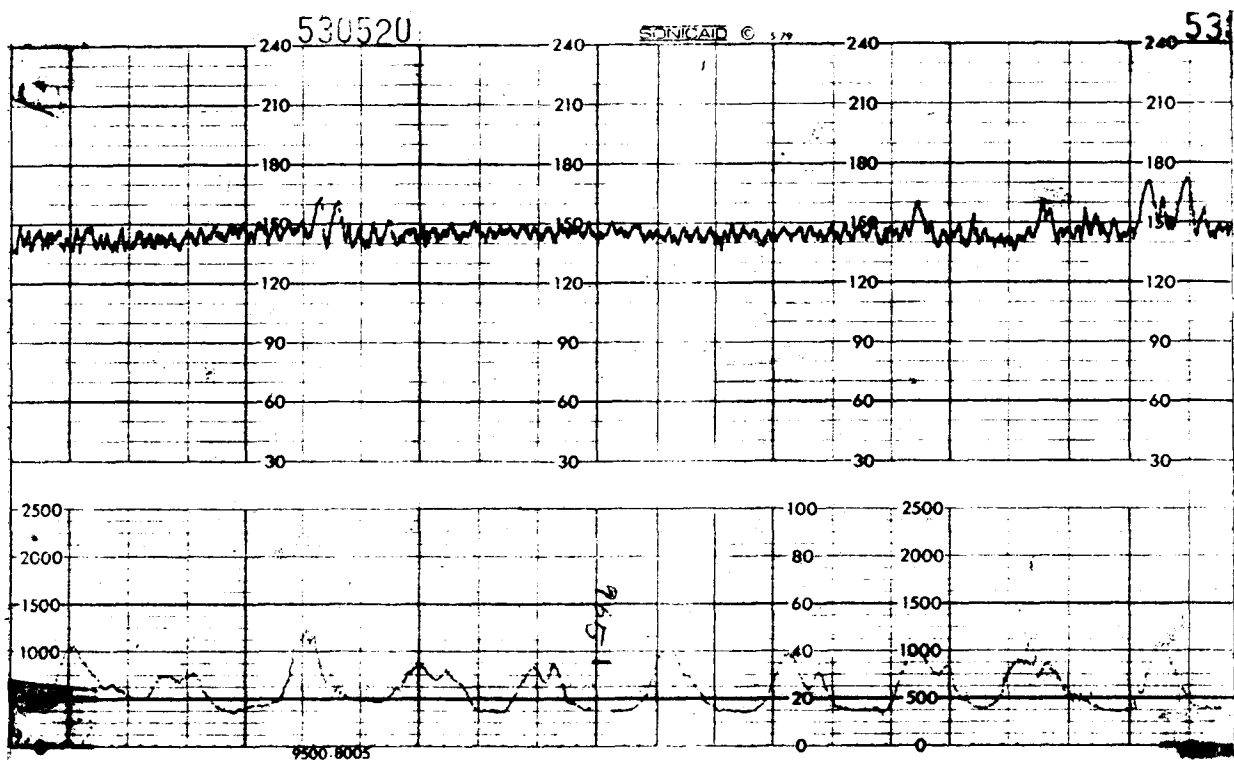


Figure 12 Recording of normal FHR tracing.

6.2 FHR tracings ທີ່ຜິດປົກຕີ

6.2.1 Abnormal FHR baseline

ກາຮແບລຜູດ FHR baseline ທີ່ຜິດປົກຕີ ນັ້ນມີອົງຄໍປະກອບທີ່ເກີຍວ່າຂອງໜ່າຍອຍ່າງເຊັ່ນ variability, Periodic decelerations ສາພາພອງທາຮກໃນຄຣກ໌ ກາຮໄທ້ຢາແກມາຮດາຂະະເຈັບຄຣກ໌ ແລະປະວັດຂອງໂຮຄຕ່າງໆ ໃນມາຮດາ ຄວາມຜິດປົກຕີຂອງ FHR ມີດັ່ງຕ້ອໄປນີ້

6.2.1.1 Tachycardia⁽¹¹⁾

ຕ້າ FHR ມາກກວ່າ 160 ຄຮ້າງ/ນາທີ ສື່ວ່າມີ tachycardia ທີ່ໂດຍກ້ວ່າໄປສື່ວ່າຜິດປົກຕີ

ສາເຫດຂອງກາຮເກີດ fetal tachycardia ໄດ້ແກ່ ກາຮຕິດເຫຼືອໃນມາຮດາ ແລະ/ຫຼືກາຮຕິດເຫຼືອໃນທາຮກ, Hypoxemia ໃນທາຮກໃນຮະຍະເຮີມແຮກ, ພລຈັກຍາຕ່າງໆ ທີ່ໄປກະຕຸນຫົວໃຈຫຼືໄປຍັບຍັ້ງເສັ້ນປະສາກ vagus, ໂຮຍື່ງໄກຍື່ງໃນມາຮດາ, ມາຮດາອູ້ຢູ່ໃນກາວະຕິ່ນແຕ້ນ, Sinus tachycardia ທີ່ເກີດນີ້ແອງ, ກາວະທີ່ທາຮກເຮີມຫຍາຍຈາກກາຮເກີດ bradycardia ເປັນເວລານານ, ກາວະຫົວໃຈເສີຍຈັງຂວະໃນທາຮກ (fetal arrhythmia), ໂຮຍ້ວໃຈເລືອດຕິ່ງໃນທາຮກ ແລະທາຮກເລືອດຈາງ

Uncomplicated baseline tachycardia – ECG

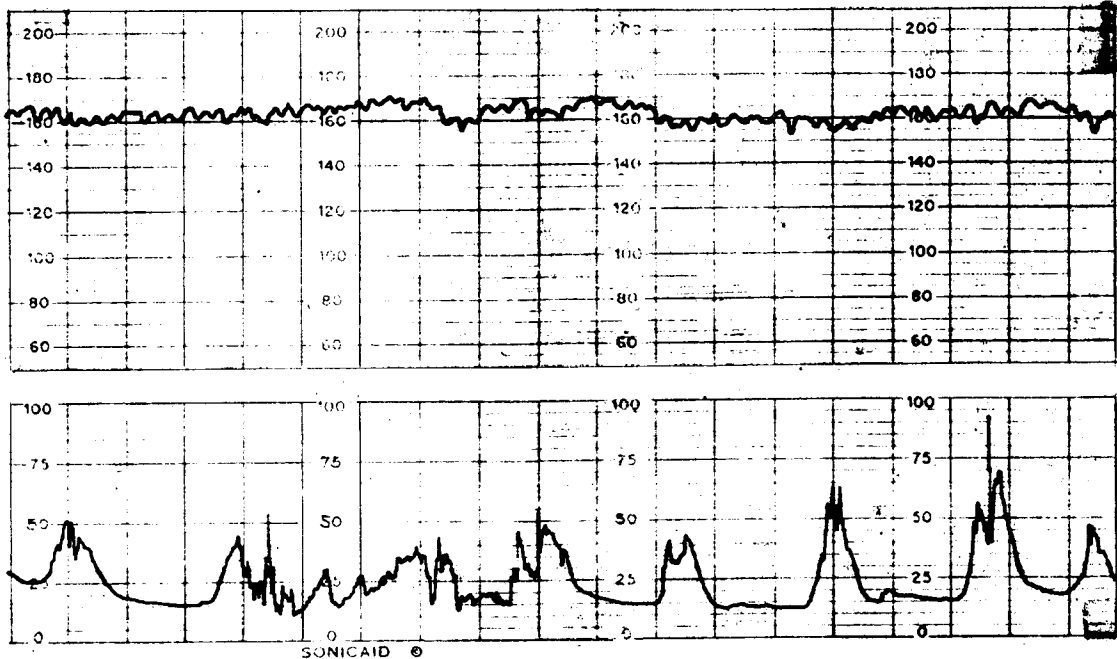


Figure 13 Recording of FHR and uterine activity demonstrating fetal tachycardia associated with maternal pyrexia.

6.2.1.2 Bradycardia⁽¹¹⁾

ถ้า FHR ช้ากว่า 120 ครั้ง/นาที แสดงว่าเกิด bradycardia ซึ่งถ้าเกิดอยู่นานต้องหาสาเหตุให้พบ⁽¹¹⁾

สาเหตุของการเกิด fetal bradycardia ได้แก่ ศีรษะทารกถูกกด, ทารกเกิด hypoxia

อยู่นาน, ผลจากยาต่าง ๆ เช่น ยาประเทก Beta blocker, ความดันเลือดต่ำในมารดา, Hypothermia ในมารดา, Paracervical block, การเกิดภาวะน้ำตาลในเลือดต่ำอยู่นานในมารดาที่เป็นเบาหวาน, Sinus bradycardia ที่เกิดขึ้นเอง, ภาวะกีดกันหัวใจที่เป็นมาแต่กำเนิด (Congenital heart block)

Complicated baseline bradycardia – ECG

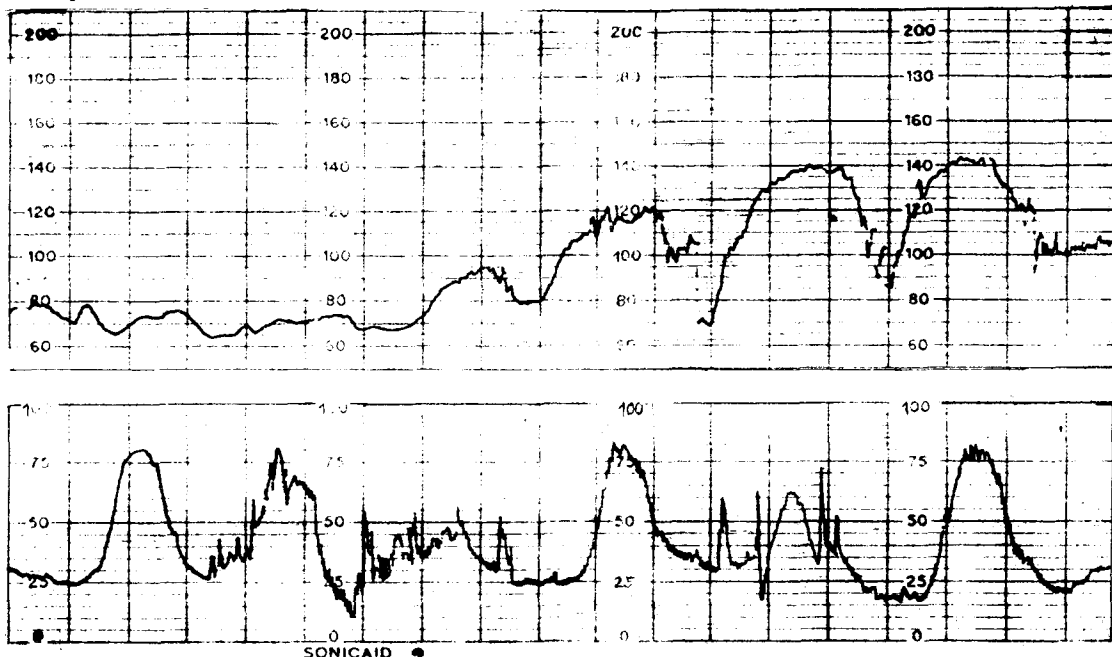


Figure 14 Recording of FHR and uterine activity demonstrating fetal bradycardia with loss of short term (Beat-to-beat) variability and late decelerations associated with fetal hypoxia.

6.2.1.3 Diminished variability⁽¹¹⁾

การเกิด Short term (beat-to-beat) variability (ดูหัวข้อ 5.1.2.1) เป็นผลของ การตอบสนองของเส้นประสาท vagus ต่อการเปลี่ยนแปลงในความดันเลือด ความดันในช่องปอด การเคลื่อนไหวของทารก ความเข้มข้นของออกซิเจน และอื่น ๆ การพิจารณา Short term variability แสดงว่าสุขภาพของทารกในครรภ์ยังดีอยู่ ถ้าพบ Short term variability ลดลง หรือหายไปแสดงว่า การส่งผ่านของกระแสประสาทไปยังหัวใจเสียไปหรืออาจเป็นผลจากหัวใจไม่ตอบสนองต่อการส่งผ่านของ

กระแสประสาทดังกล่าวก็ได้

สาเหตุของการที่ Short term variability ลดลงหรือหายไป ได้แก่ ผลจากยาต่าง ๆ ที่ให้แก่มารดาในขณะเจ็บครรภ์คลอด เช่น ยาระงับปวด ยาระงับประสาท ยาสลบ เป็นต้น, ทารกกำลังนอนหลับ, ทารกอาจกำลังอยู่ในสภาพสงบเงียบ ในระยะเริ่มแรกของการเจ็บครรภ์, ภาวะ hypoxia ในทารก, ความพิการของหัวใจและระบบประสาทส่วนกลางในทารก และภาวะหัวใจเสียชั่วขณะทารกบางอย่าง

Short term variability ที่ต้องมี variability น้อยกว่า 6 ครั้ง/นาที

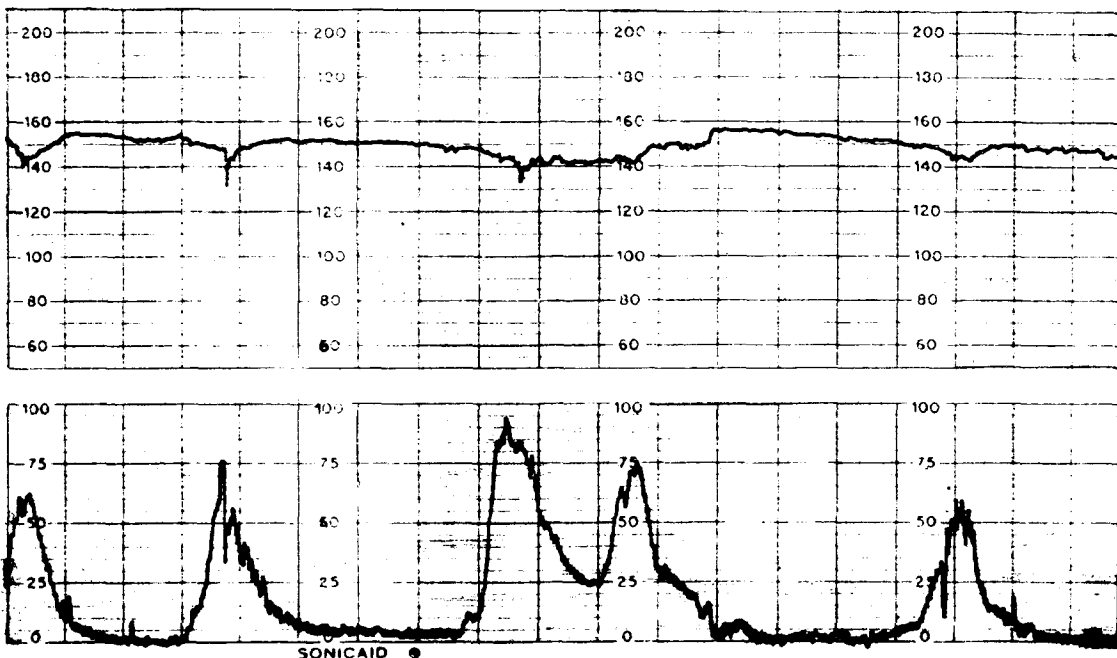


Figure 15 Recording of FHR and uterine activity demonstrating diminished short term (beat-to-beat) variability with normal baseline FHR associated with analgesic drugs administration during labor.

6.2.2 The variable decelerations, prolonged decelerations and sinusoidal FHR

6.2.2.1 Variable decelerations⁽²³⁾

สาเหตุของการเกิด Variable decelerations เกิดจากการที่สายสะดื้อถูกกด ซึ่งกลไกการตอบสนองทางสรีรวิทยาของ胎児ได้กล่าวมาแล้ว (ดูหัวข้อที่ 4)

การเกิด Variable decelerations อาจแสดงถึงการเกิด fetal distress แต่เพียงเล็กน้อย หรืออย่างรุนแรงมากก็ได้ โดยอาศัยการดู FHR tracings สำหรับมี baseline FHR ปกติ variability ปกติ decelerations ที่พบเกิดเร็วและกลับเป็นปกติเร็ว แสดงว่า胎児สามารถทนต่อภาวะ

เครียดได้ แต่สำหรับมี variability ลดลง มี tachycardia และ decelerations กลับสู่สภาพปกติช้า อาจเป็นอาการแสดงว่า胎児อยู่ในอันตรายไม่สามารถทนต่อภาวะเครียดได้

Variable decelerations พบบ่อยระหว่างระยะที่สองของการคลอด เกิดจากการที่胎児เลื่อนตำแหน่งทำให้สายสะดื้อถูกกดได้ง่ายขึ้น นอกจากนี้ variable decelerations ยังอาจเกิดจากการเปลี่ยนแปลงในแรงที่ส่งผ่านไปยังตัว胎児ระหว่างที่胎児เลื่อนตำแหน่ง หรือเกิดจากการลดลงของน้ำคร่ำ หรือการลดลงของ uteroplacental perfusion หรือเกิดจากการที่ศีรษะ胎児ถูกกดอยู่นานก็ได้ โดยทั่วไปการเกิด Variable decelerations จากสาเหตุเหล่านี้胎児สามารถทนได้

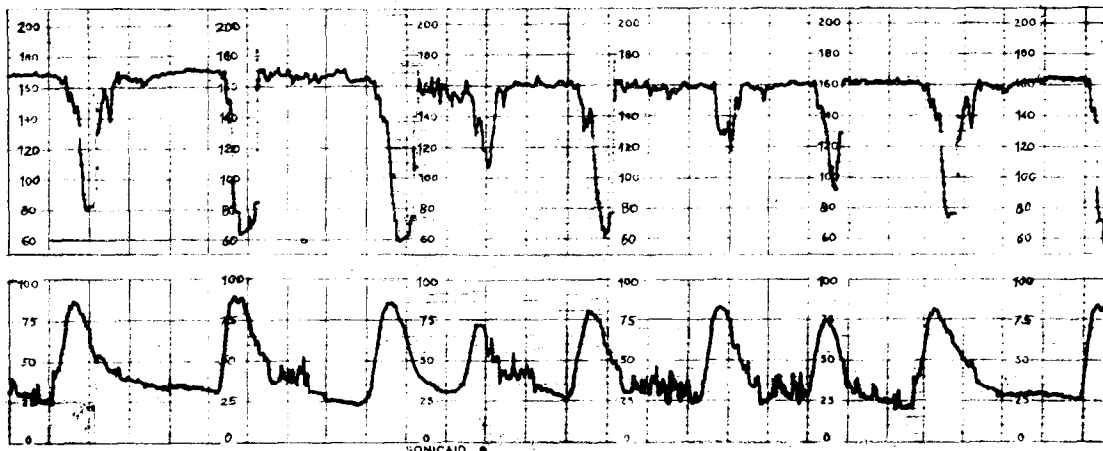


Figure 16 Recording of FHR and uterine activity demonstrating variable decelerations with baseline tachycardia and diminished short term (beat-to-beat) variability associated with umbilical cord compression and fetal hypoxia.

6.2.2.2 Prolonged decelerations⁽²³⁾

Prolonged decelerations หมายถึงการที่อัตราการเต้นของหัวใจการกลดต่ำลงกว่า baseline มากกว่า 30 ครั้ง/นาที และพบรอยู่นานกว่า 2 นาที ก่อนเกิด Prolonged decelerations อาจพบ Variable decelerations นำมายก่อน

ภาวะบางอย่างอาจส่งเสริมให้เกิด Prolonged decelerations ได้แก่ การจับต้องหน้าท้องของมารดา, มารดากำลังถ่ายปัสสาวะ, ผลจากการกด aorta และ inferior vena cava (Poseiro effect), การตรวจภายใน, การทำ fetal

scalp blood sampling, มดลูกหดตัวเกร็งตลอดเวลา, มารดากำลังซัก, ภาวะ hypoxemia ในทารก, ภาวะความดันเลือดต่ำในมารดา, ผลจากยาชาเฉพาะที่ เช่น จากการทำ paracervical block หรือ epidural block และศีรษะการกู้ภัยในระยะที่สองของ การคลอด

ภาวะดังกล่าวจะไปทำให้เลือดที่จะไปยังรกรและมดลูกลดลงทำให้การส่งผ่านออกซิเจนลดลง ผลทำให้เกิด fetal hypoxia Prolonged decelerations ส่วนมากจะมีการเริ่มต้นที่รวดเร็ว และมักพบมี variability ปกติ ถ้าสามารถแก้ไขภาวะดังกล่าวได้ decelerations จะหายไป

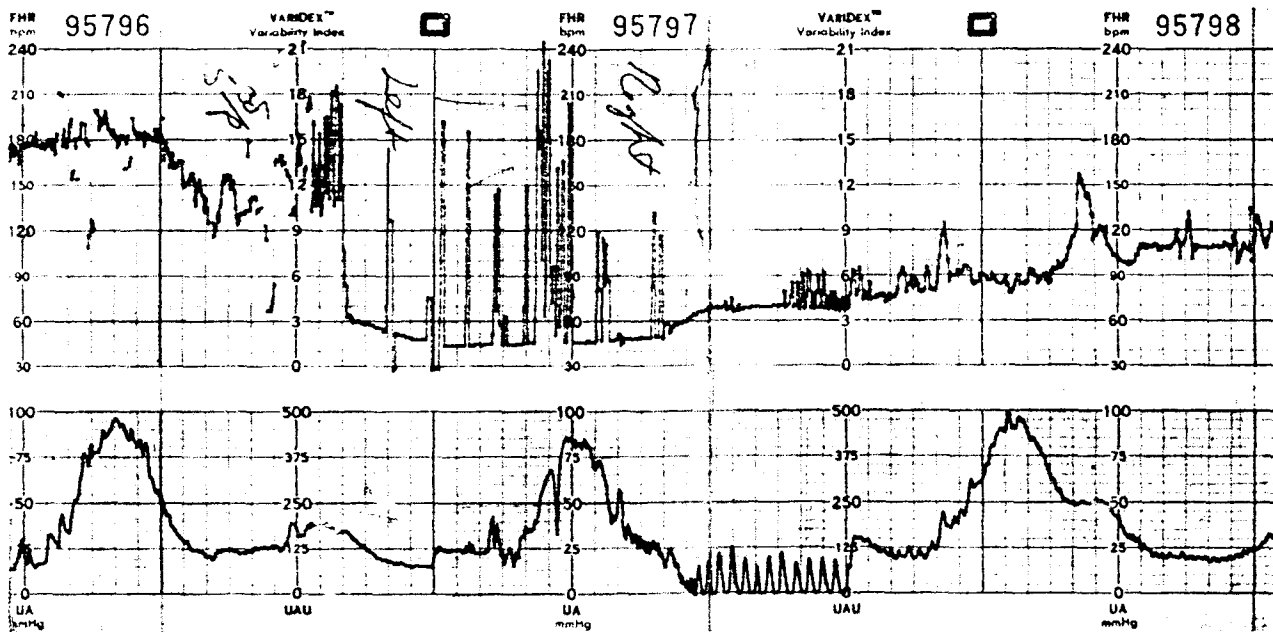


Figure 17 Recording of FHR and uterine activity demonstrating a prolonged bradycardia. Baseline variability and recovery occur with change of maternal position.

6.2.2.3 Sinusoidal fetal heart rate⁽²³⁾

ลักษณะจะเป็นรูป sine wave ที่เรียบ มากสำหรับเป็นร่องรอย ซึ่งเกิดโดยมี frequency 3-6 ตัว/นาที (อย่างน้อยต้องมากกว่า 2 ตัว/นาที) และมี amplitude อยู่ในช่วงประมาณ 30 ครั้ง/นาที (อย่างน้อยต้องมากกว่า 10 ครั้ง/นาที) และ FHR pattern ดังกล่าวต้องอยู่นาน ประมาณ 2-10 นาที

การที่ไม่พบมี beat-to-beat variability ใน Sinusoidal FHR เนื่องจากมีการทำลายในระบบการควบคุมของระบบประสาท หรือ นางรายงาน⁽²⁴⁾ เช่นว่าการเกิด hypoxia ในเนื้อ

เยื่อจะไปมีผลต่อ Medullary center ในสมองทารก ทำให้เกิดการตอบสนองในการควบคุมการเต้นของหัวใจ ทำให้เกิด patterns ดังกล่าว

สาเหตุของการเกิด Sinusoidal FHR pattern ได้แก่ ภาวะเลือดจางในการออกจากสาเหตุต่าง ๆ โดยเฉพาะทารกที่เกิด Rh sensitization อย่างรุนแรง, ภาวะ hypoxia ในทารก อย่างรุนแรง, ผลกระทบจากการให้ยา alphaprodine (nisentil) และ gastroschisis ในทารก

Sinusoidal FHR ไม่ว่าจะเกิดจากสาเหตุอะไร จะมีความสำคัญ เพราะได้แสดงให้เห็นชัดเจนแล้วว่า tracings นี้เกิดจากการที่มีพยาธิสภาพที่รุนแรงเสมอ

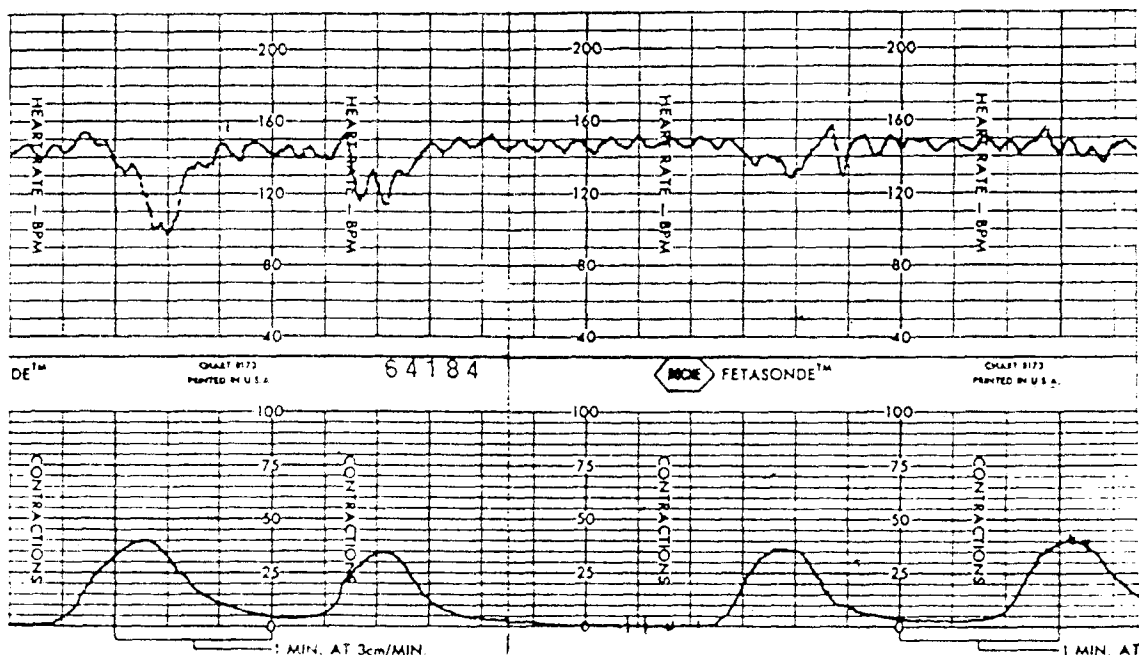


Figure 18 Recording of FHR and uterine activity demonstrating sinusoidal heart rate pattern with variable decelerations associated with fetal blood loss.

7. FHR patterns ທີ່ນີ້ຄວາມສັນພັນຮັກບັນຫາພາບຂອງທາງການໃນຄຣກທີ່ໄຟດີ (Loss of well-being)

ສຽບ FHR patterns ທີ່ພບຮ່ວມກັນ fetal hypoxia ແລະ poor perinatal-outcome ໄດ້ແກ່

1. ກາລດສັງຂອງ beat-to-beat variability
2. Baseline FHR ທີ່ເປີເປີຍແປ່ງໄປ ເຊັ່ນເກີດ tachycardia ຮູ່ອົບ ບໍລິສັດ
3. Late decelerations
4. Prolonged decelerations
5. Sinusoidal patterns

8. FHR patterns ທີ່ພບກ່ອນທາງຕາຍໃນຄຣກ⁽²⁶⁾

Parer⁽²⁰⁾ ແລະ Hon^(27,28) ພບວ່າ ກ່ອນທາງຕາຍຈະພບ mild tachycardia ນຳມາກ່ອນແລ້ວ ດາມມາດ້ວຍ terminal bradycardia ແລະຈາກຮາຍງານ

ສ່ານນາກພບວ່າກ່ອນທີ່ທາງກຈະຕາຍ ຈະພບ Short term (beat-to-beat) variability ລດລົງຫຼື້ອຫຍ່ໄປ ແລະພບວ່າ Long term variability ກ້ອຈະລົງຫຼື້ອຫຍ່ໄປດ້ວຍ ຈາກຫລາຍຮາຍງານພບວ່າ⁽²⁶⁾ ກາລທີ່ເຮົາໄຟພບ Periodic changes ກ່ອນທາງຕາຍ ອາຈເກີດຈາກການທີ່ຈົງໆ ແລ້ວການເກີດ Late (ຫຼື Variable) decelerations ນຳມາກ່ອນແລ້ວຕ່ອມການເປີເປີຍແປ່ງດັ່ງກ່າວຈະຫຍ່ໄປ ເຊື້ອວ່າເກີດເນື່ອຈາກຫົວໃຈແລະຮະບນປະສາທສ່ວນກລາງຂອງທາງກສູກທໍາລາຍຂອຍ່າງມາກຈາກກາວະ hypoxia ທຳໄໝໄຟສາມາດຕອບສະນອງຕ່ອກກາຮະຕຸ້ນເປັນຄັ້ງຄວາວັນເກີດຈາກກາຮດວັດຕ້ວຂອງມຄສູກໄດ້

Gaziano ແລະ Freeman⁽²⁹⁾ ພບວ່າກ່ອນທາງຕາຍປະປາມານ 45 ນາທີ ຈະມີການເປີເປີຍແປ່ງໃນອັຕຣາກເຫັນວ່າກ່ອນໄໝເປັນແບບ Atypical decelerations

9. การดูแลรักษาการกำเนิดและเบื้องครรภ์ **FHR patterns** ที่ผิดปกติ⁽⁸⁾ ให้ทำดังนี้

1. แก้ไขสาเหตุที่ทำให้มดลูกหดรัดตัวตลอดเวลา
2. ตรวจภายในเพื่อวินิจฉัยสาຍสะดืออยู่
3. แก้ไขภาวะความดันเลือดต่ำในมารดา
4. เปลี่ยนท่าของมารดาเพื่อให้เลือดไหลกลับสูบหัวใจดีขึ้น
5. ให้ออกซิเจนแก่มารดา

ส่วนการใช้ยาในการทำให้มดลูกลายตัวยัง เป็นที่ถกเถียงกันถึงข้อดีและข้อเสีย แต่ก็อาจมีที่ใช้ ในการณ์ที่เกิดสาຍสะดืออยู่กกดในระหว่างที่เตรียม ทำคลอดฉุกเฉิน การให้ยาทำให้มดลูกลายตัวลดแรง กดต่อสาຍสะดือ จะทำให้การส่งผ่านออกซิเจน ระหว่างมารดาและการกำเนิดดีขึ้น ส่วนการฉีดน้ำเกลือเข้าไปในโพรงมดลูกเพื่อช่วยเพิ่มจำนวนน้ำคร่ำและ ลดแรงกดบนสาຍสะดือนั้น Miyazaki และ Taylor⁽³⁰⁾ พบว่าสามารถทำให้ Variable decelerations หายไปถึงร้อยละ 67.9

หลังจากการแก้ไขดังกล่าวแล้ว

1. พบ FHR patterns กลับเป็นปกติ และ Short term variability เป็นปกติ ที่ให้การคลอดดำเนินต่อไป

2. พบ Periodic changes กลับเป็นปกติ อย่างเดียว ส่วน Short term variability ลดลง หรือหายไป ให้ทำ scalp pH ในกรณี scalp pH น้อยกว่า 7.20 แสดงถึงความเป็น acidosis ให้ ทำการคลอดโดยเร็ว

3. พบ Periodic changes ยังผิดปกติอยู่ ให้รีบทำให้คลอดโดยเร็ว

10. ผลดีของการกำเนิดและเบื้องครรภ์^(31,32,33,34,35)

จากการที่มีการนำเอา Electronic fetal monitoring มาใช้ ทำให้สามารถลด intrapartum

stillbirth จาก 2.4 เป็น 0.5 ใน 1000 รายของ ทำการที่คลอดทั้งหมด และ neonatal death rate ที่ลดลงด้วยจาก 8 เป็น 4 ใน 1000 รายของทำการ ที่คลอดมีซีพ คือ สามารถทำให้ลดอัตราตายของ ทำการทั้งในกลุ่มผู้มีค่า FHR ที่มีอัตราเสี่ยงต่ำและใน กลุ่มผู้มีค่า FHR ที่มีอัตราเสี่ยงสูงลงได้อย่างชัดเจน

11. Reliability ของ Intrapartum fetal monitoring⁽³¹⁾

การพบ FHR tracing ปกติ จะมีความแม่นยำ ในการทำนายการที่คลอดว่าจะมี Apgar score ปกติ และไม่มี acidosis ได้ถูกต้องถึงร้อยละ 95

ในการณ์ที่พบ Periodic decelerations ร่วม กับ variability ลดลงและ Baseline FHR เปลี่ยนแปลง จะสามารถทำนายว่าทำการมี hypoxia และ acidosis ได้ถูกต้องเพียงร้อยละ 50 การใช้ Fetal monitoring จะทำนายสภาวะของทำการได้ถึงร้อยละ ถ้าคุณ fetal pH ด้วย

12. ภาวะแทรกซ้อน และจุดบกพร่อง จากการทำ Intrapartum fetal monitoring⁽²⁰⁾

12.1 การผ่าท้องทำการคลอด

รายงานส่วนมากจะพบว่า ผลของการทำ Intrapartum fetal monitoring จะทำให้จำนวน การผ่าท้องคลอดเพิ่มขึ้น เนื่องจากการ monitor อาจทำให้มีการวินิจฉัย fetal distress สูงกว่าปกติ แต่ก็มีบางรายงานกลับพบว่า จำนวนการผ่าท้องทำการคลอดลดลงเมื่อทำ FHR monitoring ร่วมกับ fetal pH โดยมีหลักในการปฏิบัติตั้งต่อไปนี้

1. แพทย์ผู้ดูแลต้องสามารถแปลผลและเข้าใจ FHR tracings แบบต่างๆ ได้อย่างถูกต้อง
2. ให้เวลาอย่างเพียงพอในการแก้ไข FHR tracings ที่ผิดปกติ

3. ในกรณีที่ FHR tracings ยังคง ผิดปกติอยู่หลังจากให้เวลาพอในการแก้ไขรักษาแล้ว ให้ทำ Fetal blood sampling หา pH, pO₂

ແລະ lactate ເພື່ອຢືນວ່າທາງກມີ distress ຈົງ
ແລະແກ້ໄຂໄມ້ໄດ້

12.2 ກາຣດີຕີເຊື້ອໃນມາຮດາ

ຈາກຮາຍງານຕ່າງໆ ພບວ່າ ໃນກລຸມທີ່ກຳ Intrapartum fetal monitoring ຈະໄໝ່ພບອັດຕາກາຣດີເຊື້ອເພີ່ມຂຶ້ນ ໃນຮະບະແຮກ ແລະ ມີຄວາມເຫຼືອກັນວ່າ ກາຣດີ Intrapartum fetal monitoring ມີສ່ວນທຳໄໝກາຣດີເຊື້ອມາກັນໂດຍເນັພະໃນຮາຍທີ່ຕ້ອງຝ່າທ່ອງທຳຄລອດ ອຸປັດກາຣົນກາຣດີເຊື້ອຈະສູງຍິ່ງຂຶ້ນໄປເຖິກ

Renou ແລະ ຄະນະ⁽³⁶⁾ ພບວ່າອັດຕາກາຣດີເຊື້ອຂະນະເຈັບຄຣກີແລະ ລັ້ງຄລອດໃນຜູ້ຄລອດທີ່ກຳ Intrapartum fetal monitoring ແລະ ໄໝ່ກຳ ມີຄໍາໄກລີເຄີ່ງກັນດີ່ປະມານຮ້ອຍລະ 9 ແລະ 8 ຕາມສໍາດັບ

12.3 ນດລູກທະລຸ

ມີຮາຍງານຂອງກາຣເກີດມດລູກທະລຸ ຈາກກາຣໃຊ້ Intrauterine catheter ແບນເກົ່າ ແຕ່ສ້າໃຊ້ເປັນແບນ Catheter tip pressure transducer ແລ້ວ ຍັງໄໝ່ພບມີຮາຍງານຂອງກາຣເກີດມດລູກທະລຸເລຸຍ

12.4 Fetal scalp abscess and soft tissue injury

Scalp abscess ພບໄໝ່ຮ້ອຍລະ 0.2-5.4 ສ່ວນມາກໍໄໝ່ຮຸນແຮງໃຫ້ກາຣັກຂາເພີຍ local care

ຂໍ້າງອີງ

1. Steer PJ, Carter MC, Gordon AJ, Beard RW, The use of catheter-tip pressure transducers for the measurement of intrauterine pressure in labour. Br J Obstet Gynaecol 1978 Aug; 85 (8) : 561-566
2. Caldeyro-Barcia R, Poseiro JJ. Physiology of the uterine contraction. Clin Obstet Gynecol 1960 Jun ; 3 (2) : 386-402
3. Sahwi ES, Gaafar AA, Toppozada HK. A new unit for evaluation of uterine activity. Am J Obstet Gynecol 1967 Aug 1 ; 98 (7) : 900-903
4. Steer PJ, Little DJ, Lewis NL, Kelly CME, Beard RW. Uterine activity in induced labour. Br J Obstet Gynaecol 1975 Jun; 82 (6) : 433-441
5. Steer PJ. The measurement and control of uterine contractions. In : Beard RW, Campbell S, eds. The Current Status of Fetal Heart Rate Monitoring and Ultrasound in Obstetrics. London : R.C.O.G, 1977. 48-70
6. Steer PJ, Carter MC, Beard RW. Normal levels of active contraction area in spontaneous labour. Br J Obstet

ເທິ່ງໜັນ

ສ່ວນ Soft tissue injury ອຍ່າງອື່ນທີ່ອາຈພບໄດ້ ໄດ້ແກ່ Second degree scalp burn ຈາກ electrode, Leakage ຂອງ CSF ຈາກກາຣແກ່ເຂົ້າ ventricle, Fetal scalp bleeding ແລະ Circular scalp laceration

ສຽງ

ກາຣທຳ Intrapartum fetal monitoring ເປັນວິທີກາຣເຊີ້ນຂະນະເຈັບຄຣກີໃນຄຣກົງຮະຫວ່າງກາຣເຈັບຄຣກີຄລອດຍ່າງຕ່ອງເນື່ອງ ທີ່ຈຶ່ງສາມາຮັບນັບທີ່ກຳອັດຕາກາຣເຕັ້ນຂອງໜ້າໃຈທາງກຳໄໝ່ຂະນະມດລູກທົດຕ້ວອ່າຍທີ່ມີປົກມານແລະຄຸນກາພາດາມຕ້ອງກາຣ ທີ່ຈຶ່ງຈະໜ່ວຍວິນິຈີຈັຍກາວະ hypoxia ຂອງກາຣໄດ້ອ່າງຮວດເຮົວແລະແມ່ນຍໍາຍິ່ງຂຶ້ນ ສັງຜລໃຫ້ອັດຕາຍຂອງກາຣລົດລົງໂດຍເນັພະທີ່ເກີດຂຶ້ນຂະນະເຈັບຄຣກີ ກາວະແທກຫ້ອນທີ່ເກີດຂຶ້ນພບໄດ້ນ້ອຍມາກແລະໄໝຮ້າຍແຮງທັງຕ່ອມມາຮດາ ແລະກາຣ ໃນມີຜູ້ຂ້ານາຍແລ້ວຈະໄໝ່ກຳໄໝ່ກຳທຳໃຫ້ອັດຕາກາຣ ຜ່າທ້ອງທຳຄລອດສູງຂຶ້ນກວ່າປົກຕິ ສ່ວນຄໍາຄາມທີ່ເກີ່ວຂ້ອງເຊົ່າ ດ້ວຍກຳຈຳກຳ ປະໂຍື່ນທີ່ໄດ້ຮັບ ຄວາມຮູ້ສື່ກຂອງມາຮດາຕ້ອກກາຣໃຊ້ເຄື່ອງມືອ ຄວາມໄໝ່ສະດວກ ຄວາມໄໝ່ເຄຍຫີນ ຄວາມໄໝ່ເປັນຫຼຽມຫາຕິ ແລະຄວາມຄິດທີ່ຈະນຳເຄື່ອງມືອນິ້ນມາໃຫ້ກາຮູ້ສູ່ກຣມໃນປະເທດໄທຢັງຄົງຕ້ອງກຳທຳກາຣສຶກໝາກັນດ່ອໄປ

- Gynecol 1984 Mar; 91 (3) : 211-219
7. Tucker SM, Bryant SL. Fetal monitoring and fetal assessment in high risk pregnancy. 1 ed. Saint Louis : CV Mosby, 1978. 85-86
 8. Campbell WA, Vintzileos AM, Nochimson DJ. Intrauterine versus extrauterine management/resuscitation of the fetus/neonate. Clin Obstet Gynecol 1986 Mar; 29 (1) : 33-42
 9. Bracero LA, Schulman H, Baxi LV. Fetal heart rate characteristics that provide confidence in the diagnosis of fetal wellbeing. Clin Obstet Gynecol 1986 Mar ; 29 (1) : 3-10
 10. Gimovsky ML, Bruce SL. Aspects of FHR tracings as warning signals. Clin Obstet Gynecol 1986 Mar ; 29 (1) : 51-61
 11. Cohen WR, Yeh SY. The abnormal fetal heart rate baseline. Clin Obstet Gynecol 1986 Mar ; 26 (1) : 73-81
 12. Parer JT. Fetal heart rate. In : Creasy RK, Resnik R, eds. Maternal Fetal Medicine. Principles and Practice. Philadelphia : WB saunders, 1984. 285-310
 13. Schifferli PY, Caldeyro-Bracia R. Effect of atropine and betaadrenergic drugs on the heart rate of the human fetus. In : Boreus LO, ed. Fetal Pharmacology. New York : Raven Press, 1972. 210-215
 14. Dalton KJ, Dawes GS, Patrick JE. The autonomic nervous system and fetal heart rate variability. Am J Obstet Gynecol 1983 Jun 15; 146 (4) : 456-461
 15. Reece EA, Antoine C, Montgomery J. The fetus as the final arbiter of intrauterine stress/distress. Clin Obstet Gynecol 1986 Mar; 29 (1) : 23-31
 16. Equiluz A, Bernal AI, Mc Pherson K, Parrilla JJ, Abad L. The use of intrapartum fetal blood lactate measurements for the early diagno sis of fetal distress. Am J Obstet Gynecol 1983 Dec 15 ; 147 (8) ; 949-954
 17. Suidan JS, Young BK. Acidosis in the vigorous newborn. Obstet Gynecol 1985 Mar ; 65 (3) : 361-364
 18. Kreb HB, Petres RE, Dunn LJ, Intrapartum fetal heart rate monitoring VII. Atypical variable decelerations. Am J Obstet Gynecol 1983 Feb; 145 (3) : 297-305
 19. Freeman RK, Garite TJ. Fetal Heart Rate Monitoring. 1 ed. Baltimore: Williams and Wilkins, 1981. 55-83
 20. Parer JT. Handbook of Fetal Heart Rate Monitoring. 1 ed. Philadelphia: WB Saunders, 1983. 85-123, 193-198, 147-156
 21. Petrie RH. Symposium on fetal monitoring. Clin Perinatol 1982 Jun; 9 (2) : 325-350
 22. Paul RH, Petrie RH. Fetal intensive care. 1 ed. Connecticut : William Mack, 1979. 9-18
 23. Schneider EP, Tropper PJ. The variable deceleration, prolonged deceleration, and sinusoidal fetal heart rate. Clin Obstet Gynecol 1986 Mar ; 29 (1) : 64-71
 24. Young BK, Katz M, Wilson SJ. Sinusoidal fetal heart rate : its clinical significance. Am J Obstet Gynecol 1980 Mar 1 ; 136 (5) : 587-593
 25. Quirk JD, Miller FC. FHR tracing characteristics that jeopardize the diagnosis of fetal well-being. Clin Obstet Gynecol 1986 Mar ; 29 (1) : 12-19
 26. La Sala AP, Strassner HT. Fetal death. Clin Obstet Gynecol 1986 Mar ; 29 (1) : 95-103
 27. Hon EH. The fetal heart rate patterns preceding death in utero. Am J Obstet Gynecol 1959 Jul 1 ; 78 (1) : 47-56
 28. Hon EH, Lee ST. Electronic evaluation of the fetal heart rate VIII. Patterns

- preceding fetal death, further observation. Am J Obstet Gynecol 1963 Nov 15 ; 87 (6) : 814-826
29. Gaziano EP, Freeman DW. Analysis of heart rate patterns preceding fetal death. Obstet Gynecol 1977 Nov ; 50 (5) : 578-582
30. Miyazaki FS, Taylor NA. Saline amnioinfusion for relief of variable or prolonged decelerations. Am J Obstet Gynecol 1983 Jul 15; 146 (6) : 670-678
31. Hutson JM, Petrie RH. Possible limitations of fetal monitoring. Clin Obstet Gynecol 1986 Mar ; 29 (1) : 104-112
- 32. Amato JC.** Fetal monitoring in a community hospital : a statistical analysis. Obstet Gynecol 1977 Sep ; 50 (3) : 269-274
33. Johnstone FD, Campbell DM, Hughes GJ. Has continuous intrapartum monitoring made any impact on fetal outcome? Lancet 1978 Jun 17; 1 (8073) : 1298-1300
34. Koh KS, Greves D, Yung S. Experience with fetal monitoring in a university teaching hospital. Can Med Assoc J 1975 Feb 22 ; 112 (4) 455-460
35. Edington PT, Sibanda J, Beard RW. Influence on clinical practice of routine intrapartum fetal monitoring. Br Med J 1975 Aug 9; 3 (5979) : 341-343
36. Renou P, Chang A, Anderson I, Wood C. Controlled trial of fetal intensive care. Am J Obstet Gynecol 1976 Oct 15 ; 126 (4) : 470-476

อุปกรณ์เวชสารได้รับต้นฉบับเมื่อวันที่ 7 เดือน กรกฎาคม พ.ศ. 2529